

Roční zpráva

o hydrometeorologické situaci
v České republice 2025



Foto: Petra Grüsserová

Zpracovali:

Hydrologie: Čekal, R.; Grüsserová, P.; Kimlová, M.; Kyclová, B.; Klabzuba Urban, L.

Klimatologie: Crhová, L.

Podzemní vody: Lamačová, A.; Vlnas, R.

Na Šabatce 2050/17, Praha 4

Obsah

OBSAH	1
1 ÚVOD	2
2 TEPLOTNÍ POMĚRY	3
3 SRÁŽKOVÉ POMĚRY	6
4 ZÁSoba VODY VE SNĚHOVÉ POKRÝVCE	9
5 HYDROLOGICKÉ POMĚRY	12
5.1 ODTOKOVÉ POMĚRY	12
5.2 NÁDRŽE	18
5.3 POVODNĚ.....	20
5.4 SUCHO.....	27
6 REŽIM PODZEMNÍCH VOD	30
6.1 MĚLKÉ VRTY	30
6.2 PRAMENY.....	33
6.3 HLUBOKÉ VRTY	36

1 Úvod

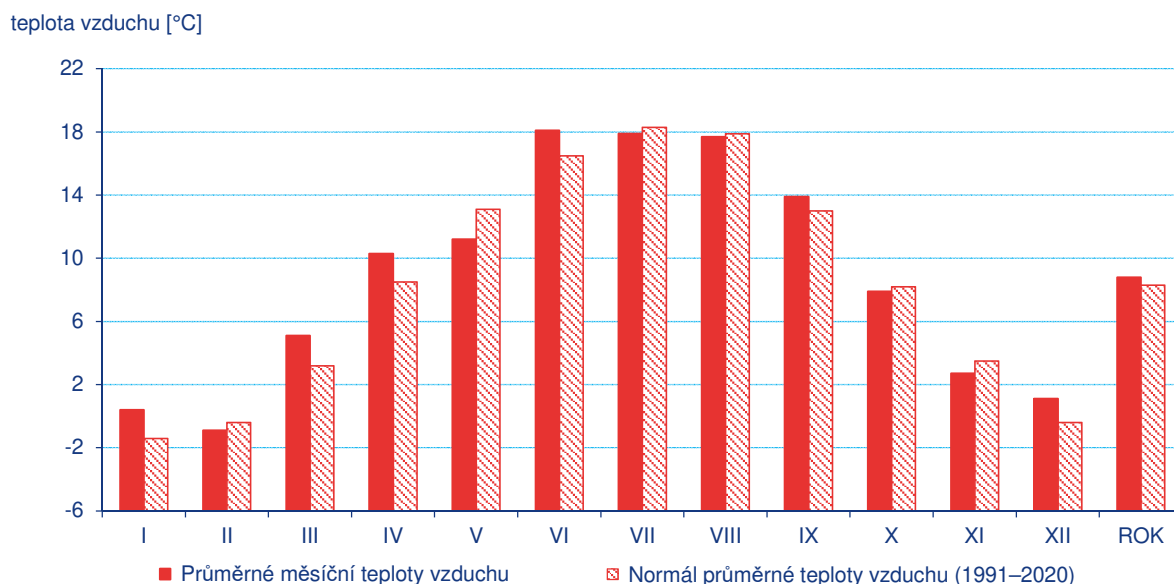
Český hydrometeorologický ústav pravidelně informuje o aktuálním vývoji hydrometeorologické situace v týdenních a měsíčních zprávách. Tato roční zpráva je stručným shrnutím vývoje teplotních, srážkových a odtokových poměrů a vývoje zásob sněhu a podzemních vod v kalendářním roce 2025.

Zpráva vychází převážně z tzv. operativních informací ČHMÚ (tj. z údajů vybrané sítě stanic), které jsou denně, popř. týdně operativně zpracovávány. Uváděné hodnoty se proto mohou lišit od následných výsledků režimového zpracování, které zahrnuje podrobnější analýzy na základě údajů úplného souboru stanic.

2 Teplotní poměry

Rok 2025 na území ČR hodnotíme jako teplotně normální, průměrná roční teplota vzduchu 8,8 °C byla o 0,5 °C vyšší než normál 1991–2020. Tato odchylka se však pohybuje na hranici teplotně nadnormálního roku. Jedná se o 13. nejteplejší rok na území ČR v řadě od roku 1961. Nejteplejším rokem na území ČR zůstává rekordně teplý rok 2024 (10,3 °C), následují roky 2023 (9,7 °C), 2018 (9,6 °C) a 2019 (9,5 °C).

V polovině měsíců roku 2025 byla zaznamenána kladná a v polovině měsíců záporná odchylka průměrné měsíční teploty vzduchu na území ČR od normálu 1991–2020. Teplé nebo velmi teplé měsíce nastaly většinou v první polovině roku, zaznamenali jsme zde však i chladný květen. V druhé polovině roku byly všechny měsíce hodnoceny jako teplotně normální. Teplotně nadnormální nebo silně nadnormální ve srovnání s normálem byly měsíce leden (odchylka +1,8 °C), březen (odchylka +1,9 °C), duben (odchylka +1,8 °C) a červen (odchylka +1,6 °C). Prosinec byl s průměrnou teplotou vzduchu na území ČR 1,1 °C (odchylka +1,5 °C) na hranici teplotně normálního a nadnormálního měsíce. Nejchladnějším měsícem ve srovnání s normálem byl květen, který hodnotíme jako teplotně podnormální (odchylka –1,9 °C).



Obr. 2.1 Průměrné měsíční teploty vzduchu na území ČR v roce 2025 ve srovnání s normálem 1991–2020

Zima 2024/2025 byla na území ČR s průměrnou teplotou vzduchu 0,1 °C o 0,8 °C teplejší než normál 1991–2020. Řadí se tak jako 19. nejteplejší v řadě od sezony 1961/1962. Prosinec 2024 a leden 2025 byly teplejší než normál, zatímco únor 2025 byl o něco chladnější. Prosinec byl hodnocen jako teplotně normální (odchylka +1,3 °C), leden jako teplotně nadnormální (odchylka +1,8 °C) a únor jako normální (odchylka –0,5 °C). Během zimy byla zaznamenána dvě velmi teplá období, a to 16.–19. prosince a 25.–30. ledna, kdy se průměrná denní teplota vzduchu na území ČR pohybovala více než 5 °C nad normálem. Denní maxima teploty vzduchu v těchto dnech často překračovala 10 °C. Naopak nejchladnější období bylo zaznamenáno 15.–20. února s průměrnou denní teplotou vzduchu na území ČR více než 4 °C pod hodnotou normálu. Ve dnech 15.–18. února panoval na většině stanic celodenní mráz.

Jaro bylo s průměrnou teplotou vzduchu na území ČR (8,9 °C) o 0,6 °C teplejší než normál. Jednalo se o 10.–11. nejteplejší jarní sezonu zaznamenanou na území ČR v období od roku 1961. Březen a duben byly teplotně nadnormální s odchylkou průměrné teploty na území ČR od normálu +1,9 °C a +1,8 °C. Květen byl naopak teplotně podnormální (odchylka –1,9 °C). Během března a dubna se průměrná teplota na území ČR většinou pohybovala nad hodnotou normálu. Velmi teplá období s teplotou výrazně nad hodnotou normálu nastala zejména ve dnech 6.–12. března a 13.–17. dubna. Naopak chladná ve srovnání s normálem byla pouze kratší období 15.–19. března, 5.–10. a 25.–27. dubna. Ve dnech 6.–9. dubna denní minima teploty vzduchu na většině našeho území klesala pod 0 °C. Po většinu května se teplota pohybovala pod hodnotou normálu, výrazněji nad hodnotou normálu se dostala pouze začátkem měsíce a poslední den měsíce. Dne 3. května byl zaznamenán první tropický den tohoto roku, když na stanici Dyjákovice naměřili 31,0 °C. Přes 30 °C bylo poté na několika stanicích naměřeno až poslední den měsíce. V první polovině měsíce nastalo ještě několik dní, kdy denní minima teploty vzduchu na velké části našeho území klesala pod 0 °C (nejčastěji 9.–10. května).

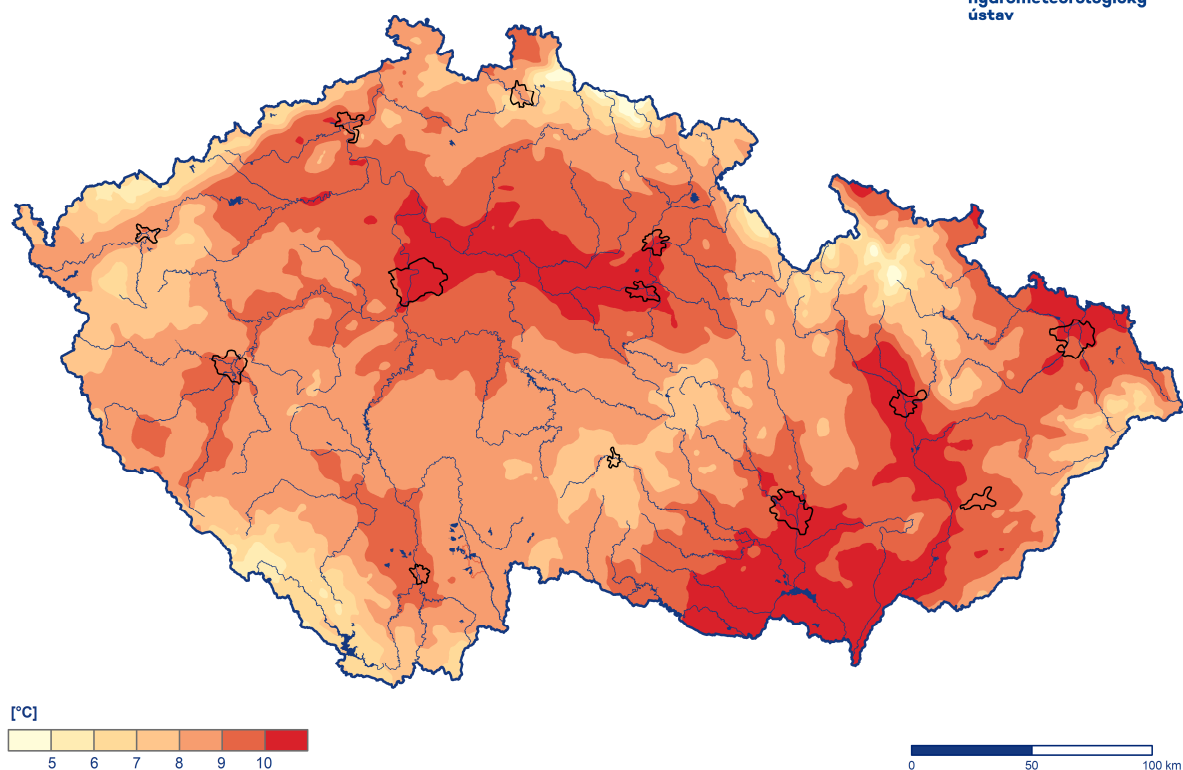
Léto na území ČR s průměrnou teplotou vzduchu 17,9 °C bylo o 0,3 °C teplejší než normál. Jednalo se 13.–15. nejteplejší léto v řadě od roku 1961. Nejteplejším měsícem léta byl červen, který byl teplotně silně nadnormální (odchylka +1,6 °C), červenec a srpen byly teplotně normální (odchylka –0,4 a –0,2 °C). Během léta se střídala chladná a teplá období ve srovnání s normálem. Teplá byla zejména období 22. června až 6. července a 8. až 16. srpna, kdy denní maxima teploty vzduchu na našem území často překračovala tropických 30 °C. Nejvyšších hodnot denní maxima teploty dosahovala ve dnech 26. června, 2.–3. července a 13.–15. srpna, kdy na některých stanicích překročovala 35 °C. Nejvyšší hodnota teploty vzduchu za letní sezonu 37,3 °C byla naměřena 2. července na stanici Doksany, na stanici mimo standardní síť ČHMÚ Husinec, Řež bylo naměřeno dokonce 37,4 °C. Vyskytly se i dny s teplotou výrazně pod hodnotou normálu, nejdéle trvající chladná období nastala ve dnech 8.–12. července, 28. července – 6. srpna a 22.–25. srpna. V těchto dnech denní maxima teploty vzduchu na stanicích většinou nedosahovala ani letních 25 °C.

Podzim 2025 byl jako celek teplotně normální, průměrná sezonní teplota vzduchu na území ČR 8,2 °C byla shodná s normálem 1991–2020. Všechny podzimní měsíce byly hodnoceny jako teplotně normální s odchylkou průměrné teploty od normálu +0,9 °C v září, –0,3 °C v říjnu a –0,8 °C v listopadu. Během podzimu teplota často kolísala kolem hodnot normálu, výrazněji nad hodnotu normálu se průměrná teplota dostala pouze v několika spíše osamocených dnech. Teplé ve srovnání s normálem byly především dny 19.–21. září, kdy denní maxima teploty vzduchu na většině našeho území ještě překračovala letních 25 °C. Ve dnech 20. a 21. září byl na několika stanicích sítě ČHMÚ dokonce zaznamenán i tropický den (denní maximum teploty vzduchu 30 °C a vyšší). Naopak chladná déletrvající období nastala ve dnech 29. září–4. října a 18.–28. listopadu, kdy se průměrná denní teplota vzduchu na území ČR pohybovala většinou 2–7 °C pod normálem. Ve dnech 18.–29. listopadu denní minima teploty vzduchu klesla pod 0 °C na většině území ČR. Dne 22. až 24. listopadu byl na více než 100 stanicích ČHMÚ zaznamenán ledový den (den, v němž maximální teplota vzduchu nedosáhla hodnoty 0,0 °C).

Prosinec 2025 byl na území ČR hodnocen jako teplotně normální, průměrná měsíční teplota na území ČR 1,1 °C (odchylka +1,5 °C) však byla na hranici teplotně normálního a nadnormálního měsíce. Po většinu měsíce průměrná denní teplota vzduchu byla nad hodnotou normálu, konec měsíce (od 24. prosince) byl pak chladnější než normál.

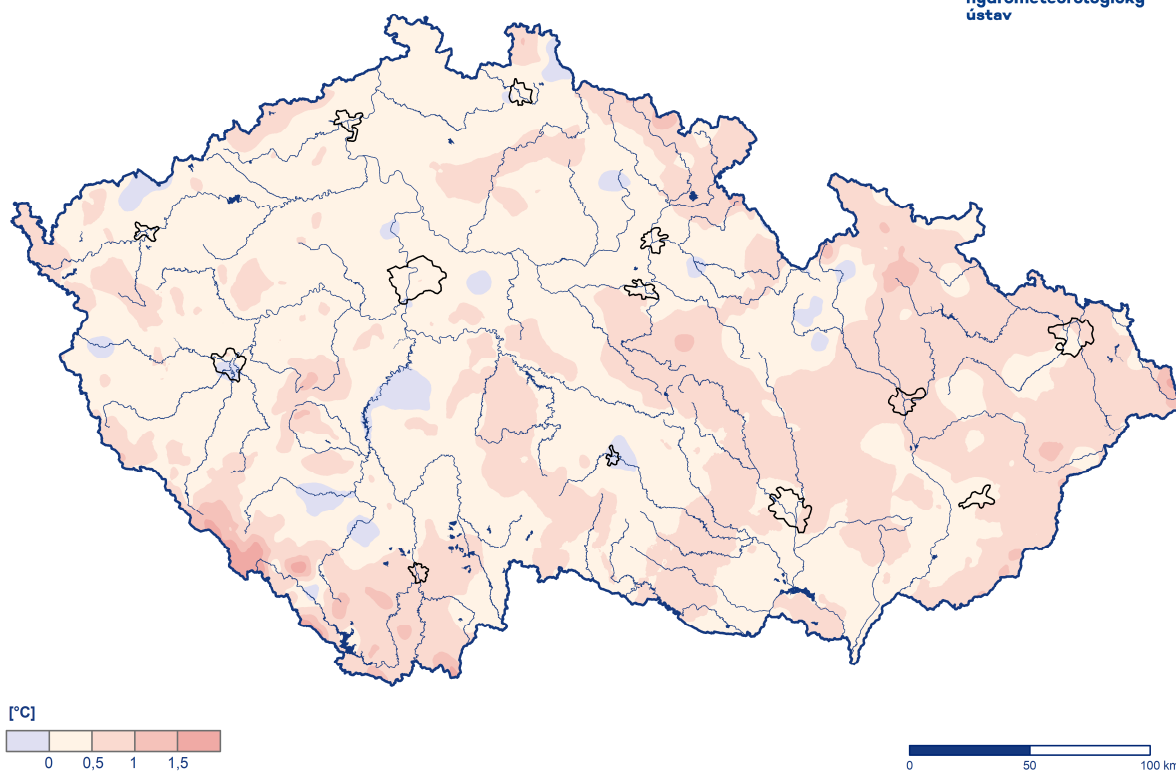
Průměrná roční teplota vzduchu v roce 2025

Český
hydrometeorologický
ústav



Obr. 2.2 Průměrná roční teplota vzduchu v roce 2025

Odchylka průměrné roční teploty vzduchu v roce 2025
od normálu 1991–2020



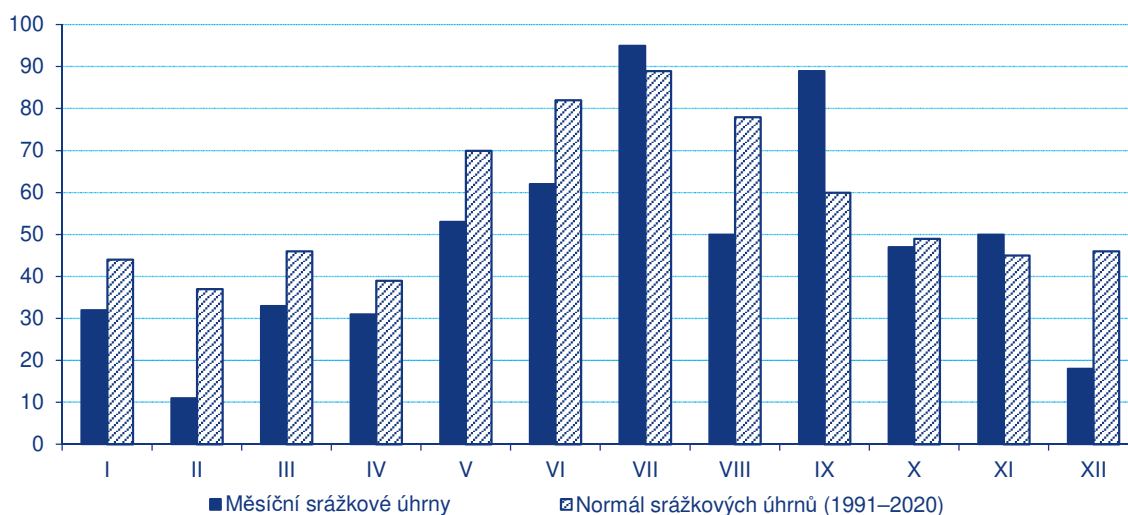
Obr. 2.3 Odchylka průměrné roční teploty vzduchu v roce 2025 od normálu 1991–2020

3 Srážkové poměry

Srážkově byl rok 2025 na území ČR podnormální, průměrný roční úhrn srážek na našem území 571 mm představuje 83 % normálu 1991–2020. Jedná se tak o 7. nejnižší roční úhrn zaznamenaný v období od roku 1961. U většiny měsíců roku byl průměrný srážkový úhrn na území ČR nižší než normál 1991–2020. Vyšší úhrn než normál, byl zaznamenán pouze v měsících červenec (107 % normálu), září (148 % normálu) a listopad (111 % normálu). Jako srážkově nadnormální však hodnotíme pouze září. Srážkově silně podnormální byl únor (30 % normálu), srpen byl podnormální (64 % normálu) a silně podnormální byl také prosinec (39 % normálu). Od začátku roku tak postupně narůstal srážkový deficit, vyšší srážkové úhrny v září přinesly pouze malé zmírnění.

Na území Čech spadlo v roce 2025 v průměru 554 mm srážek (81 % normálu), na území Moravy a Slezska to bylo 606 mm (88 % normálu). Ve všech krajích byl roční úhrn srážek nižší než normál 1991–2020. Nejvíce srážek ve srovnání s normálem spadlo v Jihomoravském (91 % normálu), naopak nejméně to bylo na západě a východě Čech v krajích Karlovarský, Plzeňský, Ústecký, Pardubický a Vysočina (méně než 80 % normálu).

úhrn srážek [mm]



Obr. 3.1 Průměrné měsíční srážkové úhrny na území ČR v roce 2025 ve srovnání s normálem 1991–2020

Zimní měsíce leden a únor byly na srážky chudé. V lednu spadlo na území ČR v průměru 32 mm (73 % normálu) a v únoru pouze 11 mm srážek (30 % normálu). V lednu dosáhl úhrn srážek hodnoty normálu pouze na západě našeho území v krajích Karlovarský a Ústecký. V únoru spadlo ve všech krajích méně než 50 % srážkového normálu, v krajích Pardubický, Olomoucký a Zlínský to bylo dokonce méně než 20 % normálu. V lednu většina srážek spadla v první polovině měsíce. Srážky byly často sněhové a sněžilo i v nižších polohách. V únoru většina srážek spadla v několika málo dnech zejména 12. a 13. února, kdy byly srážky převážně sněhové. Nejvíce sněhu (141 cm) leželo na stanici Labská bouda dne 17. února.

Všechny jarní měsíce byly hodnoceny jako srážkově normální, všechny měsíční úhrny však byly pod hodnotou normálu. V březnu spadlo v průměru na území ČR 33 mm srážek (72 % normálu), v dubnu 31 mm srážek (79 % normálu), v květnu 53 mm srážek (76 % normálu). V březnu bylo více srážek zaznamenáno na území Moravy a Slezska (41 mm, 91 % normálu) než v Čechách (29 mm, 62 % normálu). Pouze v Jihomoravském a Zlínském kraji byl průměrným měsíčním úhrn nad hodnotou normálu (114 a 102 % normálu). V březnu se většinou jednalo o srážky dešťové, na horských stanicích byl však v některých dnech ještě zaznamenán nový sníh. Na rozdíl od března bylo v dubnu zaznamenáno více srážek na území Čech (33 mm, 89 % normálu) než na území Moravy a Slezska (28 mm, 67 % normálu). Nejméně srážek ve srovnání s normálem spadlo v Moravskoslezském kraji (46 % normálu), naopak nejvíce v kraji Praha a Středočeský (106 % normálu). Většina dubnového úhrnu srážek spadla v druhé polovině měsíce. Nejvyšší celkovou výšku sněhu naměřila stanice Labská bouda (110 cm) dne 1. dubna, na konci měsíce již na žádné stanici nebyla sněhová pokrývka zaznamenána. V květnu byly nejvyšší srážkové úhrny zaznamenány v Libereckém kraji (116 %), ve všech ostatních

krajích byly průměrné srážkové úhrny opět pod hodnotou normálu. V Jihomoravském kraji spadlo pouze 49 % srážkového normálu. Většina srážek spadla ve druhé polovině měsíce.

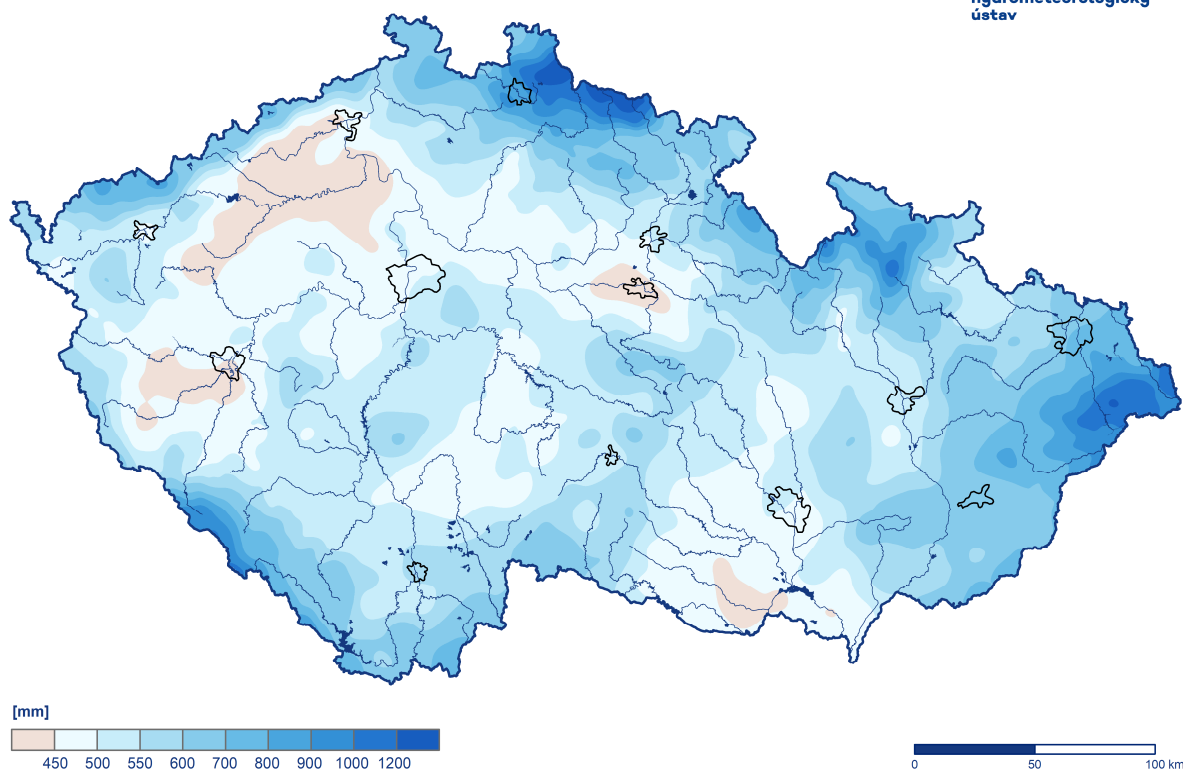
Letní měsíce byly srážkově rozkolísané. V červnu spadlo na území ČR v průměru 62 mm (76 % normálu), v červenci 95 mm (107 % normálu) a v srpnu pouze 50 mm (64 % normálu). V červnu byly průměrné úhrny srážek ve všech krajích pod hodnotou normálu. V červenci byl na srážky bohatý zejména východ našeho území, v krajích Jihomoravský, Zlínský, Olomoucký a Moravskoslezský spadlo více než 120 % srážkového normálu. V srpnu byly opět ve všech krajích srážkové úhrny pod hodnotou normálu. Srážky byly v letních měsících často spojeny s bouřkovou činností. Nejvyšší denní úhrny srážek byly zaznamenány při přechodu tlakové níže dne 27. července na východě našeho území. Na 37 stanicích standardní sítě ČHMÚ spadlo více jak 50 mm srážek. Nejvyšší hodnoty naměřily v okrese Frýdek-Místek stanice Lysá hora (130 mm), Ostravice (127 mm) a Nýdek (123,2 mm).

Září bylo na území ČR srážkově nadnormální, průměrný měsíční úhrn srážek na našem území činil 89 mm, což představuje 148 % normálu. Ve všech krajích byly srážkové úhrny vyšší než normál. Nejvíce ve srovnání s normálem spadlo v Praze a Středočeském kraji (173 % normálu). Nejvíce srážek spadlo na našem území 10. září, v průměru přes 20 mm srážek. Na více než 40 stanicích byly denní úhrny přes 50 mm, v Krkonoších dokonce přes 80 mm. Říjen a listopad hodnotíme na území ČR jako srážkově normální. V říjnu na našem území spadlo v průměru 47 mm (96 % normálu) a v listopadu 50 mm (111 % normálu). V říjnu byly srážky prostorově nerovnoměrně rozděleny. Zatímco v krajích Praha a Středočeský, Jihočeský, Vysočina a Jihomoravský spadlo méně než 80 % normálu, v některých krajích to bylo více než 120 % normálu, nejvíce v Libereckém a Královéhradeckém (149 a 130 % normálu). V říjnu se srážky vyskytovaly během celého měsíce a byly dešťové a zejména na severních horách i sněhové. Také v listopadu byly srážkové úhrny prostorově velmi rozdílné. Výrazně méně srážek ve srovnání s normálem spadlo na severu a západě našeho území, v krajích Karlovarský (45 % normálu), Ústecký a Liberecký (69 % normálu). Na východě našeho území srážkové úhrny o poznání vyšší než normál, v krajích Moravskoslezský, Jihomoravský, Olomoucký, Zlínský spadlo více než 130 % normálu. První sněžení na větší části našeho území bylo zaznamenáno 23.–26. listopadu.

Prosinec byl srážkově silně podnormální, průměrný úhrn srážek na našem území (18 mm) činil pouze 39 % normálu. Srážky se během měsíce vyskytovaly ve formě deště i sněhu, nový sníh byl na velké části našeho území zaznamenán ve dnech 29.–31. prosince. Ve vyšších polohách, nejvíce na jihu Čech, byl nový sníh naměřen i ve dnech 23. a 24. prosince.

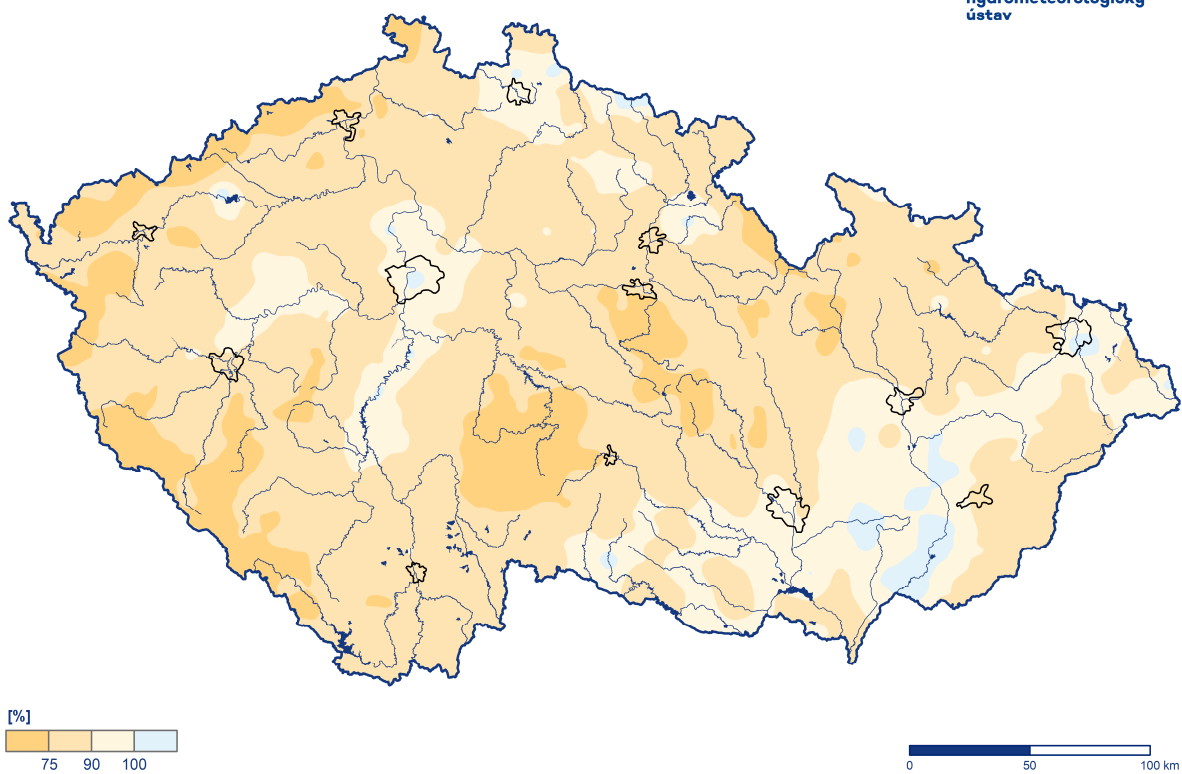
Roční úhrn srážek v roce 2025

Český
hydrometeorologický
ústav



Obr. 3.2 Úhrn srážek v roce 2025

Roční úhrn srážek v roce 2025 v procentech normálu 1991–2020

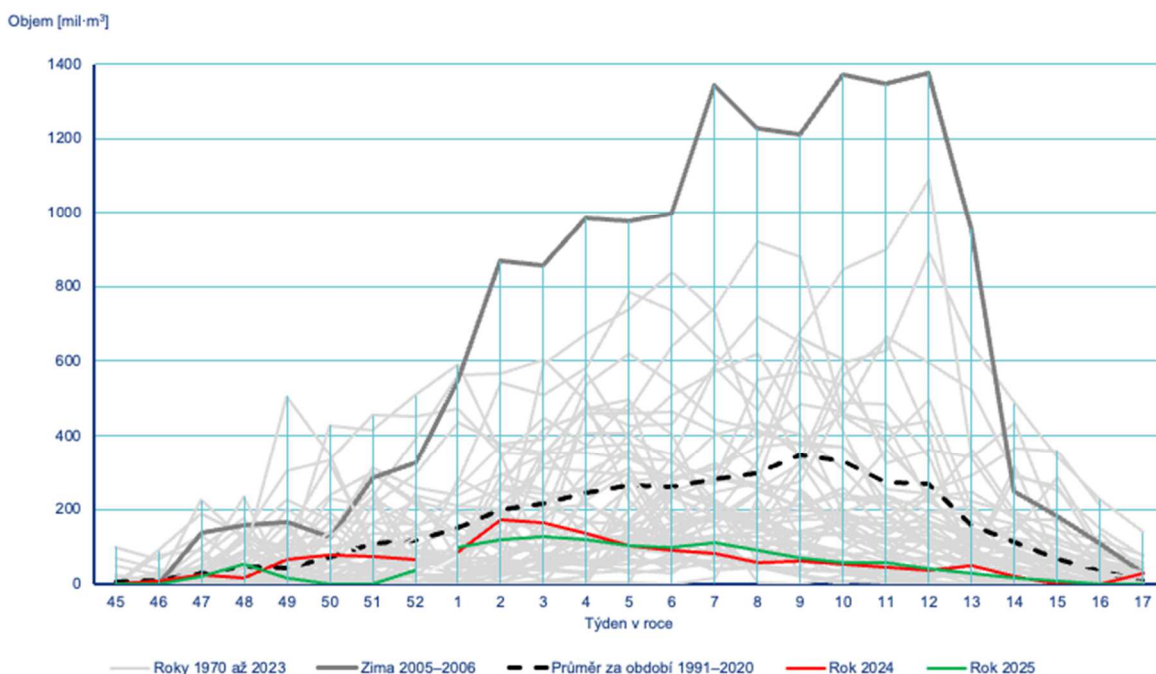


Obr. 3.3 Úhrn srážek v roce 2025 v procentech normálu 1991–2020

4 Zásoba vody ve sněhové pokrývce

Počitatelné zásoby vody ve sněhové pokrývce v zimní sezóně 2024/2025 se tak jako v posledních letech začaly tvořit až ve druhé polovině listopadu. Sněhové zásoby se postupně s mírnými výkyvy navyšovaly a maximálních hodnot roku 2024 dosáhla většina sledovaných povodí v polovině druhé prosincové dekády. Na celém území ČR k 16. 12. 2024 činily sněhové zásoby ca 0,363 mld. m³, což odpovídá v průměru ca 4,6 mm. Největší množství vody akumulované ve sněhové pokrývce 16. 12. 2024 vykazovalo povodí Vltavy po VD Orlík (76,3 mil. m³; 6,3 mm), povodí Labe po Přelouč (65,6 mil. m³; 10,2 mm), povodí Jizery (47,6 mil. m³; 21,7 mm) a povodí Odry po státní hranici (40,1 mil. m³; 8,5 mm). Poslední prosincová dekáda byla již tradičně spojena s „vánoční“ oblevou, která však oproti předchozímu roku nebyla tak výrazná. Na konci roku 2024 se významnější sněhové zásoby nacházely již jen ve vrcholových partiích našich nejvyšších hor: Krkonoš, Jizerských hor, Orlických hor, Krušných hor, Jeseníků, Beskyd a Šumavy. Celkově byl pro celou ČR začátek zimního období 2024/2025 (listopad a prosinec), vzhledem ke srovnávacímu období 1991–2020, průměrný až mírně podprůměrný.

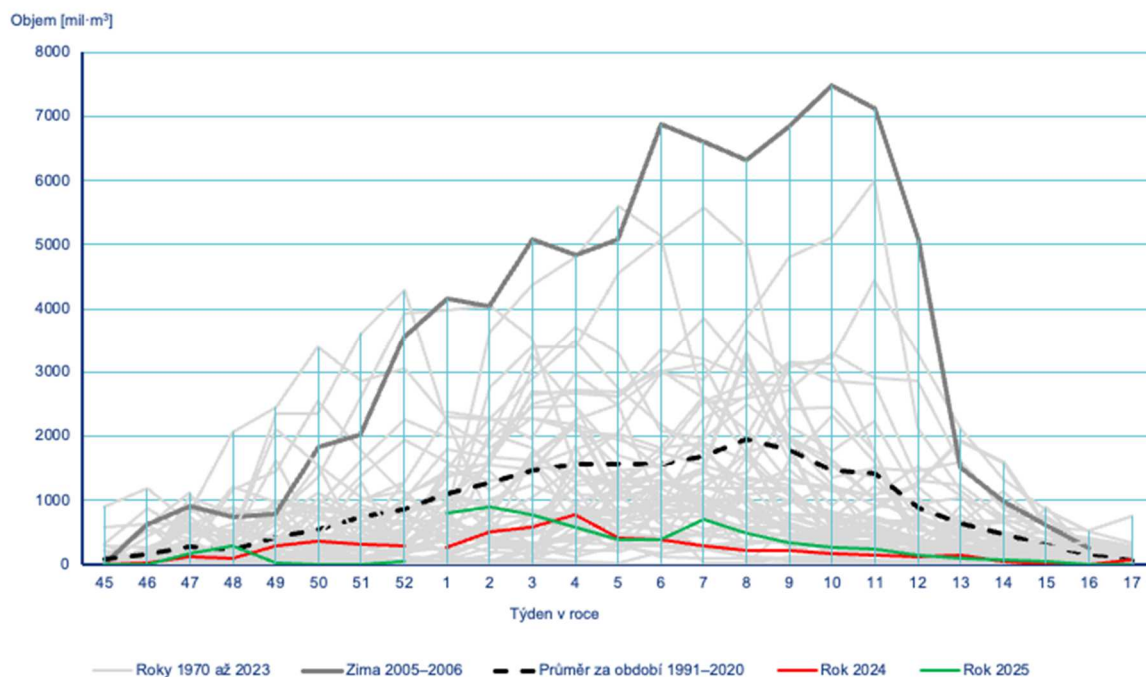
Začátek ledna roku 2025 byl ve znamení navyšování sněhových zásob ve všech sledovaných povodí a do konce druhé lednové dekády byly postupně dosaženy maximální hodnoty akumulovaných sněhových zásob roku 2025 u všech sledovaných povodí, s výjimkou povodí horní Vltavy po VD Lipno, kde nejvyšší hodnoty byly zaznamenány až o týden později. Nejdříve, v polovině první lednové dekády k 6. 1. 2025, byla maxima dosažena u povodí Berounky, Ohře, Svitavy a Svatky. Následující týden k 13. 1. 2025 již vykazovala nejvyšší hodnoty akumulace sněhových zásob roku 2025 většina sledovaných povodí. U zbylých povodí (Otavy, Vltavy po VD Orlík, Opavy a Moravy) byly nejvyšší zásoby sněhu roku 2025 dosaženy o týden později 20. 1. 2025. Sezónní maximum zimy 2024/2025 a současně i roku 2025 bylo vyhodnoceno k 13. 1. 2025, na celém území ČR bylo naakumulováno podle odhadu ca 0,899 mld. m³ množství vody ve sněhové pokrývce, což představovalo v průměru ca 11,4 mm (11,4 litrů na jeden metr čtvereční). Největší zásoby sněhu byly v povodí Labe po Přelouč (160,2 mil. m³; 24,9 mm), povodí Vltavy po VD Orlík (117,4 mil. m³; 9,7 mm), Jizery (92,5 mil. m³; 42,2 mm), Odry po státní hranici (91,6 mil. m³; 19,4 mm), Moravy po Moravičany (68,0 mil. m³; 43,6 mm), Otavy (55,6 mil. m³; 14,5 mm), Orlice po Týniště nad Orlicí (53,0 mil. m³; 34,1 mm) a Ohře po VD Nechanice (51,7 mil. m³; 14,3 mm).



Obr. 4.1 Množství vody akumulované ve sněhové pokrývce v povodí Vltavy po VD Orlík v jednotlivých zimách 1980–2025

V porovnání s průměrem za období 1991–2020 byly sněhové zásoby pro toto období (polovina druhé dekády ledna) u většiny vyhodnocovaných povodí podprůměrné až mírně podprůměrné. Ovšem ani v tomto týdnu se nevyskytovaly počitatelné zásoby vody ve sněhové pokrývce na celém území České republiky. Sněhová pokrývka se vyskytovala zejména v pohraničních horách, Doupovských horách, v oblasti Českomoravské vrchoviny a Karlovarské vrchoviny.

Území Jihomoravské nížiny a Hornomoravského úvalu a oblast Třeboňska, Plzeňska a Lounska byly zcela bez sněhu. Celkově bylo zimní období 2024/2025 zpočátku (rok 2024) blízké průměru, zatímco ve druhé části (rok 2025) výrazně podprůměrné (Obr. 4.1, Obr. 4.2).



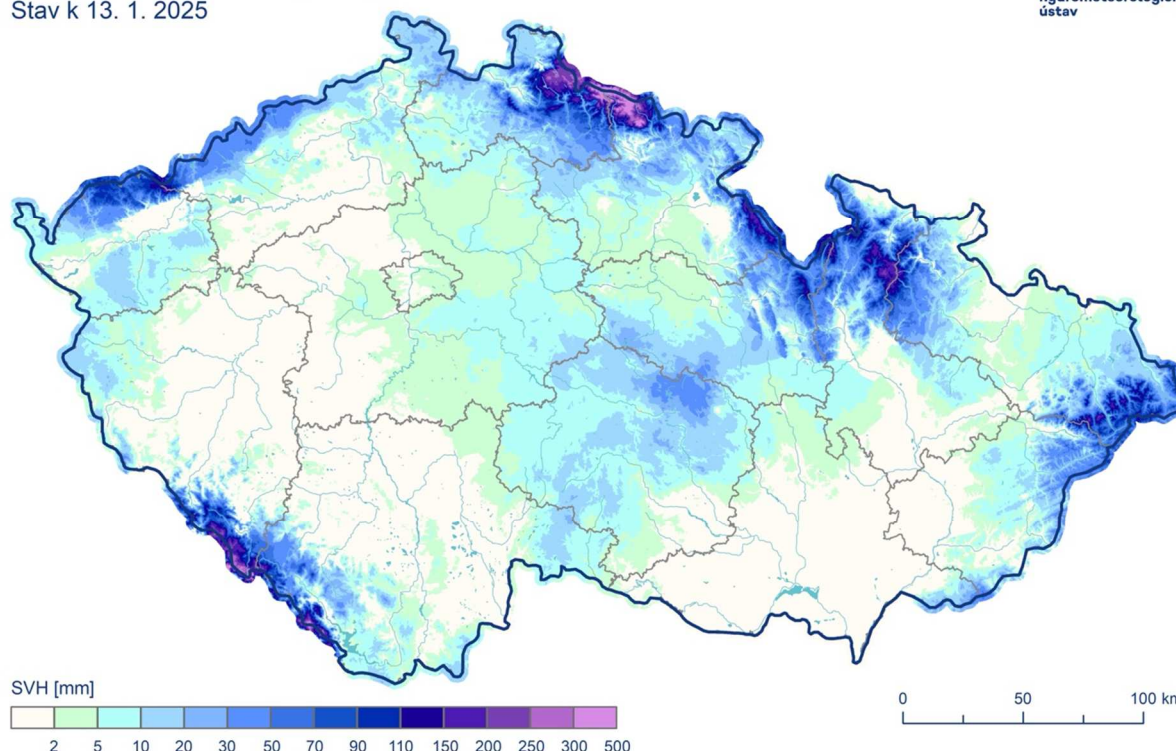
Obr. 4.2 Množství vody akumulované ve sněhové pokrývce na území České republiky v jednotlivých zimách 1980–2025

Po dosažení celkového maximálního množství vody akumulované ve sněhové pokrývce v roce 2025 na území České republiky (13. 1. 2025) došlo do poloviny února ke značnému zredukování sněhových zásob v důsledku oblevy. V povodí Sázavy, Svitavy a Jihlavy odtála veškerá sněhová pokrývka již do konce ledna. K přechodnému nárůstu akumulace vody ve sněhové pokrývce na celém území ČR, zejména pak v krajích Středočeském, Ústeckém, Karlovarském a Vysočině, došlo v polovině února (17. 2. 2025). Od poloviny února již docházelo k relativně pozvolné redukci sněhových zásob až do poloviny dubna. V povodí Cidliny, Sázavy, Lužnice, Dyje, Svitavy, Jihlavy a Svratky odtála do 3. 3. 2025 veškerá sněhová pokrývka a do konce zimní sezóny 2024/25 se zde souvislá pokrývka již nevytvořila.

Poslední vyhodnocení množství vody ve sněhové pokrývce v zimní sezóně 2024/2025 proběhlo 14. dubna 2025. Zbytky sněhu se vyskytovaly již pouze v nejvyšších partiích Krkonoš, Jizerských hor, Šumavy a Jeseníků.

Vodní hodnota sněhu (SVH)

Stav k 13. 1. 2025



Obr. 4.3 Rozložení vodní hodnoty sněhové pokrývky (SVH) na území České republiky k 13. 1. 2025 (maximální hodnoty sněhových zásob v zimní sezóně 2024/25 a současně v roce 2025)

Počitatelné zásoby vody ve sněhové pokrývce v zimní sezóně 2025/2026 se tak jako v předchozích letech začaly tvořit až ve třetí dekádě listopadu. Sněhové zásoby se poslední listopadový týden navyšovaly a maximálních hodnot v závěru roku 2025 dosáhla naprostá většina sledovaných povodí na samém začátku prosince. Na celém území ČR k 1. 12. 2025 činily sněhové zásoby ca 0,276 mld. m³, což odpovídá v průměru ca 3,5 mm. Největší množství vody akumulované ve sněhové pokrývce 1. 12. 2025 tradičně vykazovalo povodí Vltavy po VD Orlík (52,1 mil. m³; 4,3 mm), povodí Odry po státní hranici (45,3 mil. m³; 9,6 mm), povodí Labe po Přelouči (30,9 mil. m³; 4,8 mm), povodí Lužnice po ústí (18,6 mil. m³; 4,4 mm) a povodí Otavy po ústí (17,7 mil. m³; 4,6 mm). Během prvních dvou prosincových dekád sněh průběžně odtával ve všech sledovaných povodích. V polovině prosince se již sněh, s výjimkou povodí Vltavy po Lipno a povodí Otavy, nevyskytoval v žádném povodí. Na některých moravských povodích odtál již do konce první dekády. Další počitatelné sněhové zásoby se ve většině sledovaných povodích opětovně začaly tvořit až na samém konci prosince. Na konci roku 2025 se významnější sněhové zásoby nacházely pouze ve vrcholových partiích našich nejvyšších hor: Krkonoš, Jizerských hor, Orlických hor, Krušných hor, Jeseníků, Beskyd a zejména Šumavy. Celkově byl pro celou ČR začátek zimního období 2025/2026 (listopad a prosinec), vzhledem ke srovnávacímu období 1991–2020, výrazně podprůměrný.

5 Hydrologické poměry

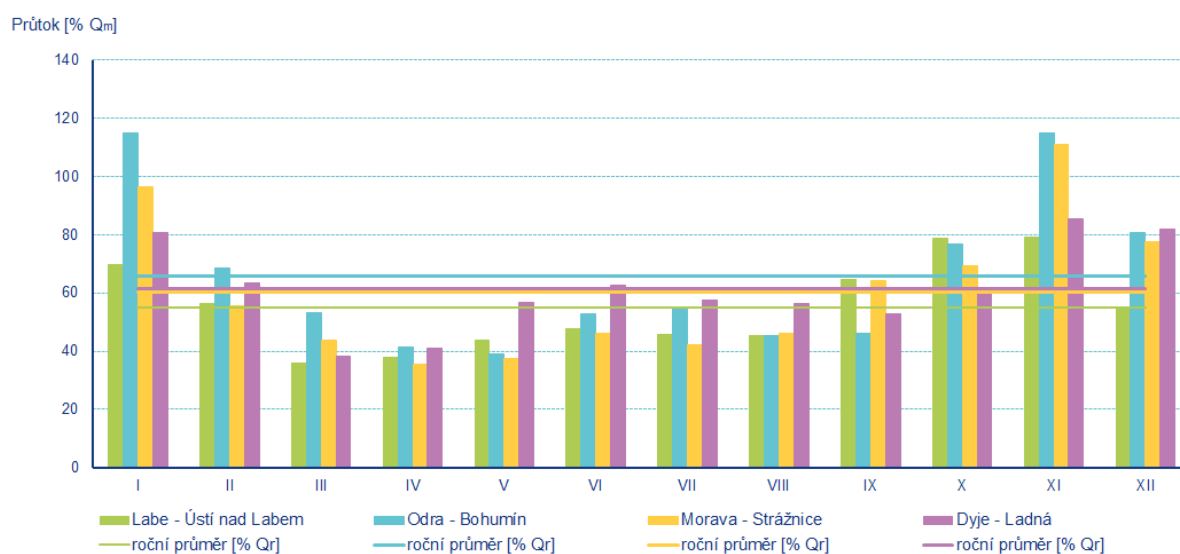
5.1 Odtokové poměry

Z odtokového hlediska byl rok 2025 ve většině hlavních povodí charakterizován převážně průměrnými až podprůměrnými odtoky.

Zimní období se vyznačovalo klidným hydrologickým průběhem bez významnějších povodňových situací, přičemž v únoru docházelo místy k poklesu průtoků až k hodnotám blízkým hydrologickému suchu. Jarní měsíce byly ve všech hlavních povodích převážně podprůměrné až výrazně podprůměrné, s nízkými průtoky, a pouze ojedinělými a krátkodobými vzestupy hladin způsobenými srážkami.

Také v letním období převažovaly nízké průtoky, přerušované lokálními a krátkodobými srážkovými epizodami, které zejména na menších tocích vedly k přechodnému dosažení stupňů povodňové aktivity. Nejvýznamnější hydrologické události roku byly zaznamenány v červenci, kdy místy došlo k dosažení i 2. a 3. stupňů povodňové aktivity. Podzimní období se vyznačovalo převahou průměrných až podprůměrných průtoků a bez výraznějších povodňových situací s ojedinělými výskyty 1. stupňů povodňové aktivity.

Celkově byl rok 2025 z hlediska odtokových poměrů hodnocen jako rok bez plošně významných povodňových epizod a častým výskytem podprůměrných průtoků. Na Pitkovickém potoce docházelo k opakovaným překročením SPA v průběhu celého roku, profil byl však ovlivněn stavebními pracemi a dále je uveden v kapitole Povodně.



Obr. 5.1.1 Odtokové poměry z hlavních povodí v roce 2025

Zimní období

Zimní měsíce byly z odtokového hlediska ve většině hlavních povodí převážně průměrné až mírně podprůměrné. Hydrologická situace byla po většinu období klidná, bez plošně významných odtokových epizod. V lednu se místy vyskytovalo přechodné zvýšení průtoků v souvislosti se srážkami a táním sněhové pokrývky, zatímco v únoru docházelo k postupnému poklesu průtoků, místy až k hodnotám blízkým hydrologickému suchu. V obou měsících se převážně na menších horských tocích vyskytovaly ledové jevy, které lokálně ovlivňovaly průtokové poměry.

Leden

Z odtokového hlediska byl leden ve většině hlavních povodí převážně průměrným až mírně podprůměrným měsícem, nejméně vody oteklo Labem (70 % Q_I) a Vltavou (60 % Q_I). Průměrné měsíční průtoky se na sledovaných tocích nejčastěji pohybovaly v rozmezí od 60 do 115 % Q_I . Ve druhé polovině měsíce vykazovaly hladiny toků převážně klesající tendenci a ke konci měsíce se průtoky udržovaly na hodnotách přibližně 45 až 95 % Q_I . V průběhu měsíce se na menších tocích začaly projevovat ledové jevy, vlivem kterých byl místy překročen 1. SPA.

Únor

Z odtokového hlediska byl únor ve většině hlavních povodí převážně podprůměrným měsícem. Průměrné měsíční průtoky byly spíše podprůměrné a pohybovaly se v hodnotách od 30 do 85 % Q_{II} . V průběhu měsíce se postupně snižovaly a ke konci února dosahovaly místy až na hranici hydrologického sucha. Také během února se zejména na menších horských tocích přechodně vyskytovaly ledové jevy, vlivem čehož došlo místy i k překročení 1. SPA. Hladiny toků byly převážně setrvalé nebo s pozvolně klesající tendencí.

Jarní období

Jarní měsíce byly z hlediska odtoku ve všech hlavních povodích převážně podprůměrné až výrazně podprůměrné. Průtoky se po většinu jara udržovaly na nízkých hodnotách, bez významnějších plošných odtokových epizod. Pouze lokálně a krátkodobě docházelo k přechodným vzestupům hladin v reakci na srážky, případně se jednalo o manipulaci na vodních dílech, přičemž ojediněle byly dosaženy 1. stupně povodňové aktivity.

Březen

Z odtokového hlediska byl březen převážně výrazně podprůměrným až podprůměrným měsícem ve všech hlavních povodích, nejméně vody oteklo Labem (36 % Q_{III}) a Vltavou (36 % Q_{III}). Průměrné měsíční průtoky se na většině sledovaných toků nejčastěji pohybovaly v rozmezí od 20 do 60 % Q_{III} . Hladiny sledovaných toků byly v průběhu celého měsíce převážně setrvalé nebo na pozvolném poklesu. Přechodné vzestupy hladin se vyskytovaly pouze lokálně a krátkodobě. Celkově byl březen charakterizován klidnou hydrologickou situací bez dosažení SPA.

Duben

Z odtokového hlediska byl duben převážně výrazně podprůměrným až podprůměrným měsícem ve všech hlavních povodích, nejméně vody oteklo Moravou (35 % Q_{IV}) a Olší (30 % Q_{IV}). Průměrné měsíční průtoky se na většině sledovaných toků nejčastěji pohybovaly v rozmezí od 15 do 65 % Q_{IV} . Hladiny toků byly v průběhu většiny měsíce převážně setrvalé nebo pouze slabě kolísaly. Výraznější kolísání bylo zaznamenáno až v závěru měsíce, kdy 25. 4. došlo vlivem srážek k přechodnému dosažení 1. SPA na Brodečce v profilu Otaslavice. K vzestupům s překročením 1. SPA došlo také vlivem manipulací na vodních dílech, a to 2. 4. na Malé Hané v profilu VD Opatovice, 19. 4. na Labi v profilu Labská a 28. 4. na Bělé v Boskovicích pod přehradou.

Květen

Z odtokového hlediska byl i květen výrazně podprůměrným až podprůměrným měsícem ve všech hlavních povodích, nejméně vody oteklo Odrou (39 % Q_V) a Moravou (38 % Q_V). Průměrné měsíční průtoky se na většině sledovaných toků pohybovaly nejčastěji v rozmezí od 15 do 90 % Q_V . Nízké průtoky převažovaly zejména v první a druhé dekádě měsíce. Hladiny sledovaných toků byly v průběhu většiny měsíce převážně setrvalé nebo pouze slabě kolísaly. Výraznější kolísání vodních hladin bylo zaznamenáno v závěru měsíce v důsledku srážkové činnosti, kdy na některých tocích došlo k přechodným vzestupům hladin. K dalším vzestupům, avšak již s dosažením 1. SPA došlo na přelomu května a června, kdy byl 31. 5. dosažen 1. SPA na Blanici v profilu Blanický mlýn a Podedvory (vše $Q_{<2}$).

Letní období

Letní období bylo z odtokového hlediska převážně podprůměrné, místy až výrazně podprůměrné. Nízké průtoky převažovaly ve většině hlavních povodí, hydrologickou situaci ovlivňovaly především lokální a krátkodobé srážkové epizody, které zejména na menších tocích vedly k přechodným vzestupům hladin a místy i k dosažení stupňů povodňové aktivity.

Červen

Z odtokového hlediska byl červen podprůměrným až výrazně podprůměrným měsícem ve všech hlavních povodích, nejméně vody oteklo Vltavou (45 % Q_{VI}) a Moravou (46 % Q_{VI}). Průměrné měsíční průtoky se na většině sledovaných toků pohybovaly v širokém rozmezí od 15 do 90 % Q_{VI} , přičemž nejnižší hodnoty průtoků byly zaznamenány zejména v povodí Vltavy a středního Labe. V průběhu měsíce byly hladiny toků převážně setrvalé nebo hladiny vykazovaly pouze mírně klesající tendencí. Přechodné vzestupy hladin se vyskytly pouze lokálně v reakci na srážkovou činnost. Již 1. 6. došlo ke krátkodobému překročení 1. SPA na Lužické Nise v Liberci. Dne 5. 6. byl 2. SPA zaznamenán na Litavě v Brankovicích ($Q_{<2}$), 1. SPA byl překročen na Cidlině v Novém Bydžově (Q_2). Během 23. 6. došlo k překročení 1. SPA na Lužické Nise v Proseči a v Liberci (vše $Q_{<2}$). V průběhu června se postupně navyšoval počet profilů s indikací hydrologického sucha, zejména v nižších a středních polohách.

Červenec

Z odtokového hlediska byl červenec, s výjimkou povodí Olše (88 % Q_{VII}), dalším podprůměrným až výrazně podprůměrným měsícem v téměř všech hlavních povodích. Průměrné měsíční průtoky se ve většině sledovaných toků pohybovaly nejčastěji v širokém rozmezí od 20 do 80 % Q_{VII} . Relativně větší průtoky byly zaznamenány zejména na tocích odvodňujících oblasti Jeseníků, Beskyd a v povodí Lužické Nisy. Na začátku měsíce byly hladiny toků místy ještě mírně rozkolísané v reakci na srážkovou epizodu na konci června. V průběhu druhé a třetí dekády však převládala setrvalá až klesající tendence hladin. Lokálně však docházelo 21. a 22. 7. k přechodným vzestupům hladin v důsledku bouřkové činnosti. K překročení 1. SPA došlo 21. 7. na Lužické Nise v profilech Proseč nad Nisou a Liberec, Jihlavě v profilu Bransouze a na Balince v profilu Baliny (vše $Q_{<2}$). K dalším výrazným vzestupům, v reakci na srážkové úhrny z 27. a 28. 7. došlo u toků odvodňujících zejména Jeseníky. Dne 27. 7. byl přechodně překročen 3. SPA na toku Černý potok v profilu Velká Kraš (Q_5) a dne 28. 7. byl krátkodobě dosažen 2. SPA na Lučíně v Horních Domaslavicích (Q_5) a na Stonávce v Hradišti (Q_2). Na Vidnavě, Jevíčce, Bystrici, Olešné, Rožnovské Bečvě, Lubině, Olši, Ostravici a Ropičance došlo ve dnech 27. nebo 28. 7. k překročení 1. SPA (vše $Q_{<2}$). V závěru měsíce došlo vlivem srážek k přechodnému snížení počtu profilů s indikací hydrologického sucha.

Srpen

Z odtokového hlediska byl srpen dalším podprůměrným měsícem téměř ve všech hlavních povodích. Průměrné měsíční průtoky se na většině sledovaných toků pohybovaly nejčastěji ve velkém rozmezí od 25 do 110 % Q_{VIII} . Hladiny toků byly v průběhu měsíce převážně setrvalé nebo s pozvolně klesající tendencí. K výraznějšímu rozkolísání hladin docházelo zejména v první polovině měsíce pouze lokálně v souvislosti s bouřkovou činností. K překročení 1. SPA došlo v srpnu na začátku a na konci měsíce. Dne 5. 8. došlo krátce k překročení 1. SPA na Lužické Nise v Liberci ($Q_{<2}$). Na konci měsíce (29. 8.) byl 1. SPA dosažen na Botiči ve stanici Jesenice-Kocanda a také na Lužické Nise v Proseči nad Nisou (vše $Q_{<2}$). V polovině srpna došlo k rychlému nárůstu počtu suchých profilů (s hodnotami průtoků menšími než Q_{355d}) a jejich počet dosáhl ročního maxima (35 % operativních profilů) v roce 2025. Na konci měsíce se jejich počet snížil.

Podzimní období

Podzimní období bylo z odtokového hlediska proměnlivé. Zatímco září a říjen byly charakterizovány rozkolísanými hladinami toků a přechodnými vzestupy v souvislosti se srážkami, listopad se vyznačoval postupnou stabilizací hydrologické situace. Ve většině hlavních povodích se průtoky během podzimu pohybovaly v rozmezí průměrných až podprůměrných hodnot, významnější povodňové situace se nevyskytly.

Září

Z odtokového hlediska byl měsíc září převážně podprůměrným až výrazně podprůměrným měsícem ve všech hlavních povodích, nejméně vody oteklo Odrou (46 % Q_{IX}) a Olší (41 % Q_{IX}). Průměrné měsíční průtoky se u většiny sledovaných toků pohybovaly nejčastěji v širokém rozmezí od 20 do 110 % Q_{IX} . Hladiny toků byly v průběhu září mírně rozkolísané, výraznější kolísání bylo 5. 9. na Botiči v Praze-Nuslích, kdy došlo k překročení 1. SPA ($Q_{<2}$). Následně během 10. a 11. 9. došlo k překročení 1. SPA na některých menších tocích v horských oblastech na severu Čech, Tab. 5.3.1. Během 14. 9. došlo k překročení 2. SPA na Stružce v Rychvaldu (Q_2).

Říjen

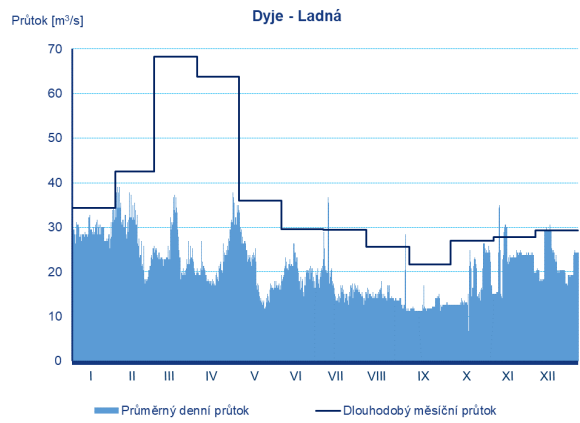
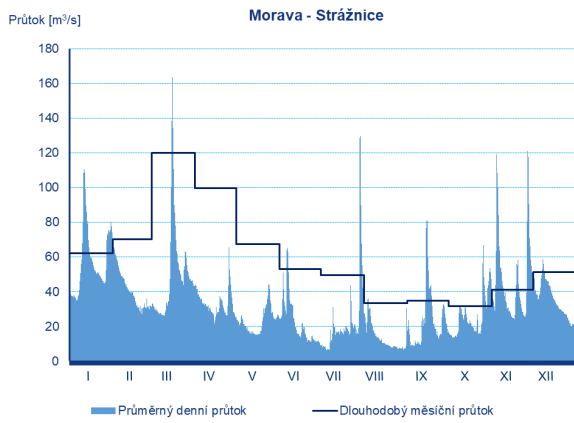
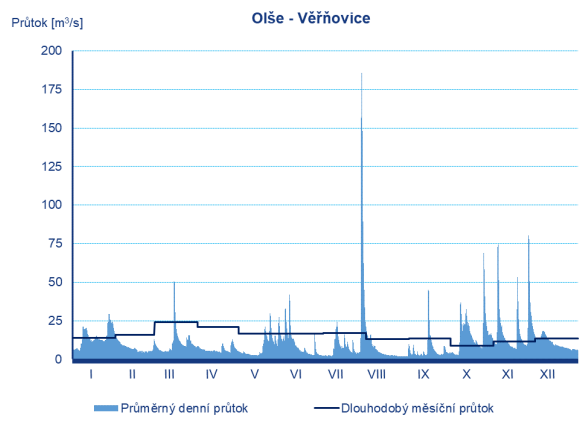
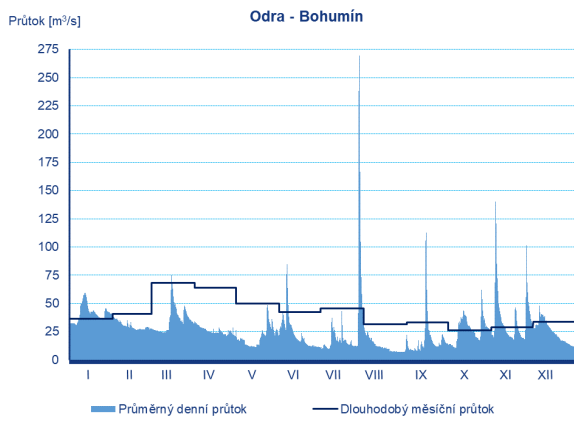
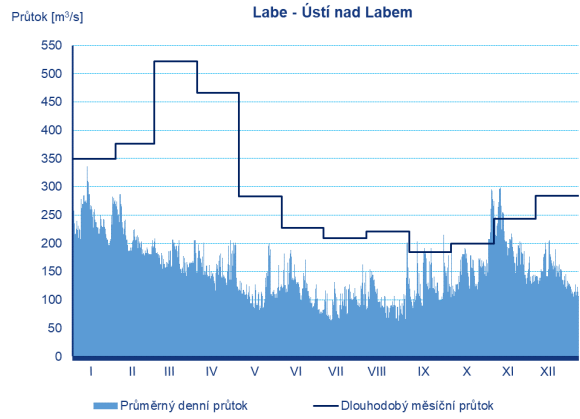
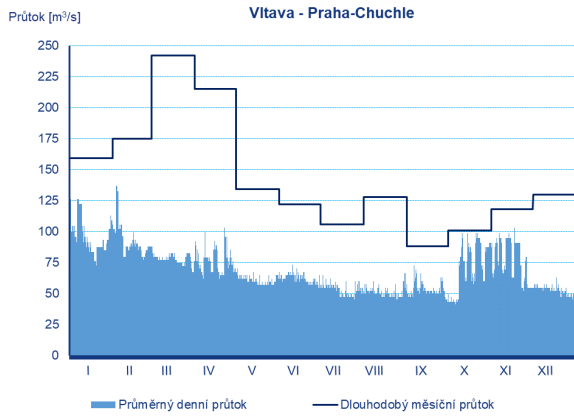
Z odtokového hlediska byl říjen celkově spíše podprůměrným měsícem ve většině hlavních povodí. Nadprůměrné odtoky byly zaznamenány pouze v povodí Olše (134 % Q_X). Průměrné měsíční průtoky se pohybovaly nejčastěji v rozmezí od 20 do 150 % Q_X . Hladiny toků byly v průběhu měsíce poměrně rozkolísané, přičemž výraznější vzestupy se vyskytly zejména ve druhé polovině října. Na konci měsíce (28. a 29. 9.) došlo na Mumlavě, horním Labi, Lužické Nise, horní Úpě, Divoké Orlici a Jizeře k překročení 1. SPA (vše $Q_{<2}$), na horním toku Labe v profilu Vestřev byl 29. 10. přechodně dosažen 3. SPA ($Q_{<2}$).

Listopad

Z odtokového hlediska byl listopad ve většině hlavních povodí převážně průměrným měsícem, nejméně odteklo Vltavou (65 % Q_{XI}). Průměrné listopadové průtoky se nejčastěji pohybovaly v rozmezí od 40 do 140 % Q_{XI} . Hladiny sledovaných toků byly v průběhu měsíce převážně setrvalé nebo s pozvolně klesající tendencí. Kolísání hladin bylo pouze mírné a bez výraznějších vzestupů. V průběhu listopadu se vodnosti na tocích postupně snižovaly. V listopadu nebyly zaznamenány žádné stupně povodňové aktivity.

Prosinec

Z odtokového hlediska byl prosinec ve většině hlavních povodí také převážně podprůměrným měsícem, nejmenší hodnoty průtoků vykazovaly povodí Labe (55 % Q_{XII}) a Vltavy (44 % Q_{XII}). Průměrné měsíční průtoky se nejčastěji pohybovaly v rozmezí od 35 do 100 % Q_{XII} . V průběhu měsíce docházelo k postupnému snižování průtoků. Hladiny toků byly převážně setrvalé nebo slabě rozkolísané, s celkově mírně klesající tendencí. Od poloviny třetí prosincové dekády byly zejména menší horské toky ovlivňovány ledovými jevy. Stupně povodňové aktivity nebyly během prosince zaznamenány.



Obr. 5.1.2 Odtoky z hlavních povodí v roce 2025

Tab. 5.1.1 Odtok v roce 2025 v procentech dlouhodobých průměrných měsíčních průtoků (barevně jsou vyznačeny závěrové profily hlavních povodí)

Tok	Profil	Leden	Únor	Březen	Duben	Květen	Červen	Červenec	Srpen	Září	Říjen	Listopad	Prosinec	Rok
		[%]												
Orlice	Týniště nad Orlicí	85,8	54,5	24,5	23,4	44,1	59,1	36,6	50,2	56,3	66,8	117	64,6	52
Jizera	Předměřice nad Jizerou	71,3	57	40,8	40,6	56,7	77,4	55,7	74,9	84,6	132	104	74,3	67
Labe	Přelouč	86,7	57,1	32,6	35	45,3	53,2	37,8	53,5	53,2	65,5	90,2	68,1	54
Labe	Kostelec nad Labem	73,7	53,5	31,5	29,6	34,5	42,5	20,4	38,7	45,8	69,9	82,4	62,4	47
Lužnice	Bechyně	59,6	38,3	34,4	24,4	24,3	20,2	18,3	16,1	35,4	56,3	67,9	51,2	37
Otava	Písek	101	65,2	49,9	43,9	36,3	32,9	34,6	30,2	46,9	68	70,4	47,9	51
Sázava	Nespeky	65	48,2	28,4	33,4	38,1	37	31,2	29,1	49,2	56,2	61,6	53,6	42
Berounka	Beroun	48,7	62,3	38,2	45,8	56,8	59,7	45,6	30,6	40	39,7	34,6	31,7	44
Vltava	Praha-Chuchle	59,6	53,9	36,1	41,5	49,9	45,2	50,8	39,2	56,7	65,3	65,3	44,1	51
Ohře	Louny	77,1	75,7	32,5	25,4	37,3	47,9	53,4	50,8	75	84,2	66,5	37,7	53
Labe	Ústí nad Labem	69,8	56,4	35,9	37,9	43,8	47,6	45,6	45,3	64,4	78,6	79,2	54,7	53
Labe	Děčín	71,2	55,6	34,4	37,8	45,3	48,6	48	46,5	64	75,1	76,3	53,2	52
Odra	Bohumín	115	68,6	53,2	41,5	39	52,8	54,8	45,2	46	76,9	115	80,7	62
Olše	Věřňovice	105	43,4	43	30,4	48,3	52,9	88	44,8	41,2	134	150	85,5	68
Bečva	Dluhonice	95,8	33,6	32,8	19,1	38	52,9	57,4	40,3	60,6	93,1	129	56,6	53
Morava	Strážnice	96,4	55,4	43,8	35,3	37,6	46	42,2	46	64,2	69,2	111	77,7	57
Svratka	Židlochovice	88,2	64,9	40,5	46,3	60,6	81,1	68,5	65,7	76,3	62,8	93,8	85,1	66
Jihlava	Ivančice	80,1	57,9	35,9	33,5	50,2	61,5	54,2	37,8	42,1	44,1	49,2	77,1	50
Dyje	Ladná	80,9	63,3	38,3	40,8	56,7	62,5	57,4	56,4	52,9	60	85,4	81,9	59

5.2 Nádrže

Odtokovému režimu roku 2025 odpovídal i pohyb hladin v pravidelně vyhodnocovaných nádržích. Výraznější výkyvy v plnění zásobních prostorů byly patrné především v druhé polovině roku, kdy vzhledem k absenci větších srážek docházelo k poklesům v naplnění zásobních prostor nádrží, Obr. 5.1.1.

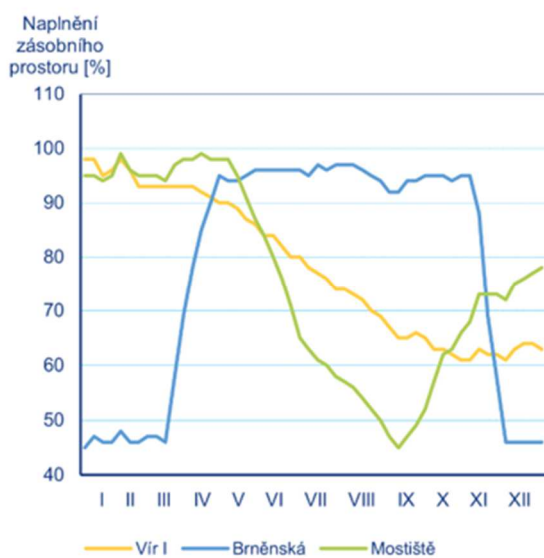
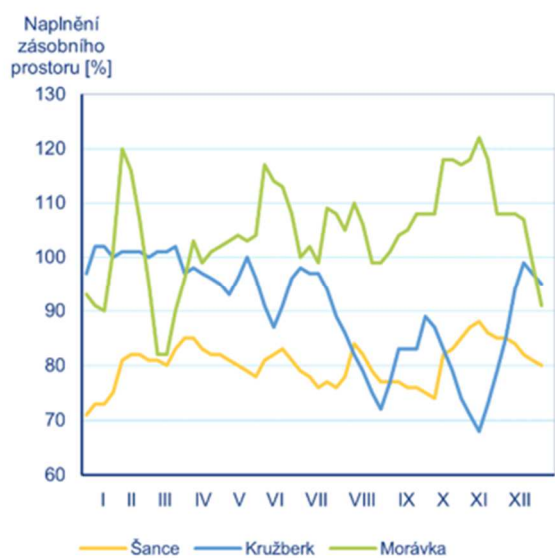
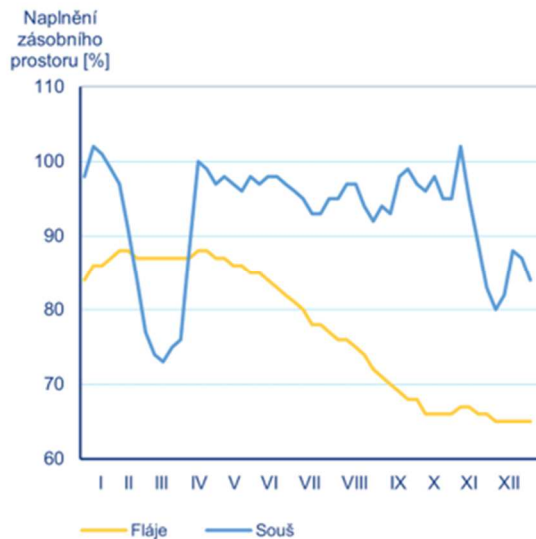
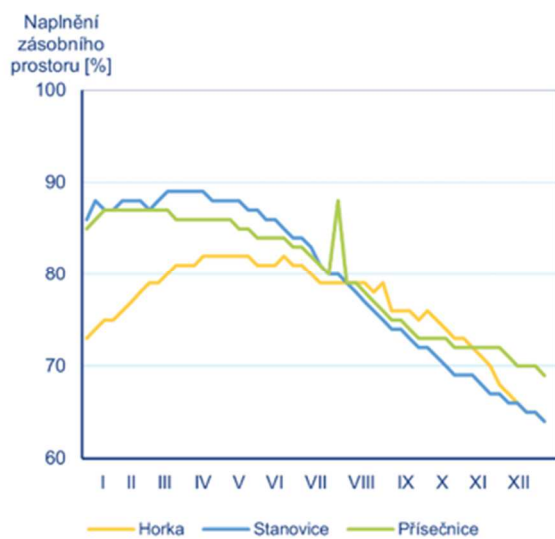
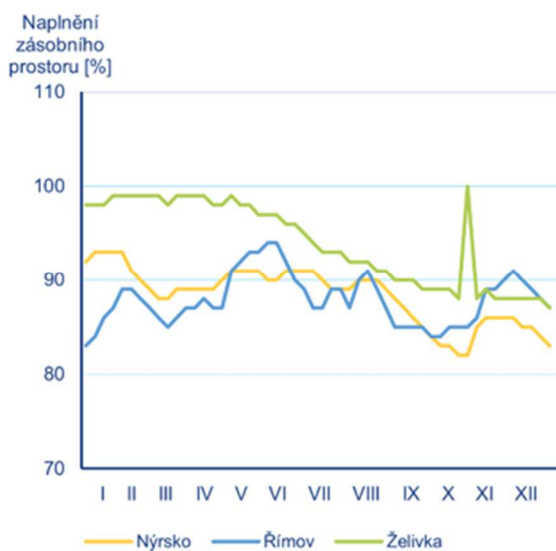
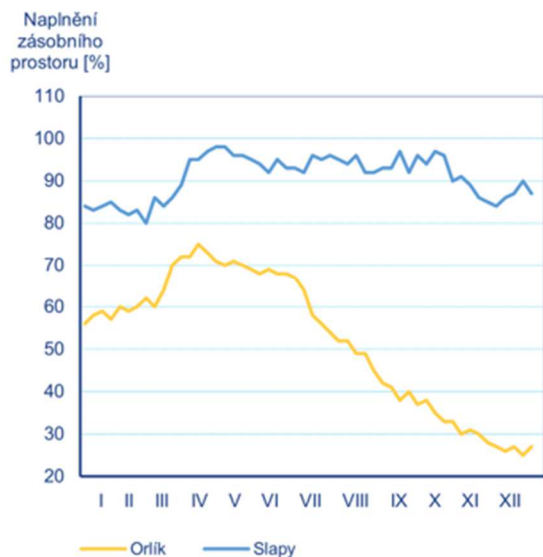
Průměrné naplnění zásobních prostorů nádrží se v průběhu roku 2025 pohybovalo v rozmezí 73–90 % jejich kapacity. Na začátku roku byly nádrže převážně téměř plně naplněny a dosahovaly horní hranice průměrných hodnot roku 2025. V období od června do srpna docházelo k postupnému poklesu akumulace až ke spodní hranici naplnění zásobních prostorů v daném roce. Do konce roku se hodnoty vlivem občasných srážek mírně zvýšily a ustálily se na průměrné úrovni okolo 77 %.

Nejnižší průměrné naplnění zásobních prostorů v průběhu roku bylo zaznamenáno u vodních děl Orlík (52 %) a Rozkoš (54 %). U VD Orlík bylo maximální naplnění dosaženo na začátku dubna (75 %), poté docházelo s mírným kolísáním k postupnému poklesu až k ročnímu minimu 25 % na konci prosince. Naproti tomu u VD Rozkoš byl v průběhu roku patrný postupný nárůst naplnění, minimum bylo zaznamenáno na začátku roku a maximum na přelomu listopadu a prosince.

Nejvyšší průměrné naplnění zásobních prostorů vykazovala vodní díla Morávka (105 %) a Josefův Důl (96 %). U VD Morávka se naplnění během roku pohybovalo v rozmezí 80–120 %, přičemž pouze v prosinci došlo k mírnému poklesu pod spodní hranici tohoto rozmezí. Naplnění zásobních prostorů VD Josefův Důl zůstávalo po celý rok velmi stabilní a kolísalo pouze mezi 93 a 99 %.

Ze sledovaných nádrží byla nejnižší týdenní akumulace vody zaznamenána u vodních děl Rozkoš (31 % k 5. 1.), Orlík (25 % k 21. 12.) a Pastviny (18 % k 31. 8.). Vodní dílo Březová dosáhlo ve dvou týdnech záporných hodnot akumulace (–7 % k 31. 8. a –1 % k 21. 9.). Naopak nejvyšší týdenní akumulace vody byla zaznamenána u vodních děl Morávka (122 % k 9. 11.) a Skalka (119 % ke 12. 1.).

Zásoba vody nad dispečerským minimem v nádržích Vltavské kaskády činila na začátku roku 240,76 mil. m³, což zároveň představovalo maximální hodnotu v roce 2025. V průběhu ledna se zásoba pohybovala v rozmezí 228–242 mil. m³. Následoval postupný pokles, přerušovaný krátkou epizodou ve druhé dekádě března, kdy v důsledku výraznějších srážkových úhrnů došlo ke zvýšení zásoby z 166,78 mil. m³ na 177,74 mil. m³. Poté zásoba opět klesala až k hranici dispečerského minima ve třetí dekádě června. Od konce června do konce července došlo k jeho podkročení, a to až na hodnotu –10,78 mil. m³. Od srpna do konce roku však zásoby vody opět převážně rostly, s výjimkou třetí dekády října, kdy došlo k poklesu z 39,93 mil. m³ na 25,55 mil. m³. Od listopadu se zásoby vody v nádržích Vltavské kaskády znovu zvyšovaly a ke konci roku dosáhly hodnoty 133,63 mil. m³ nad dispečerským minimem.



Obr. 5.2.1 Procenta naplnění zásobních prostorů vybraných nádrží v roce 2025

5.3 Povodně

Rok 2025 byl ve srovnání s předchozím rokem z hydrologického hlediska výrazně klidnější. V zimním období se překročení stupňů povodňové aktivity (SPA) vyskytovalo jen výjimečně. Během letních měsíců byl 3. SPA zaznamenán ve dvou případech, v červenci na Černém potoce ve Velké Kraši a v říjnu na Labi ve Vestřeví. Nejvyšší počet překročení SPA připadl na červenec, kdy byly současně dosaženy i nejvyšší vodnosti odpovídající hodnotě Q_5 . K opakovanému překročení SPA došlo také na Pitkovickém potoce v Kuří, kde však byly zaznamenané průtoky ovlivněny stavební činností, a proto plně neodrážely skutečný hydrologický stav toku.

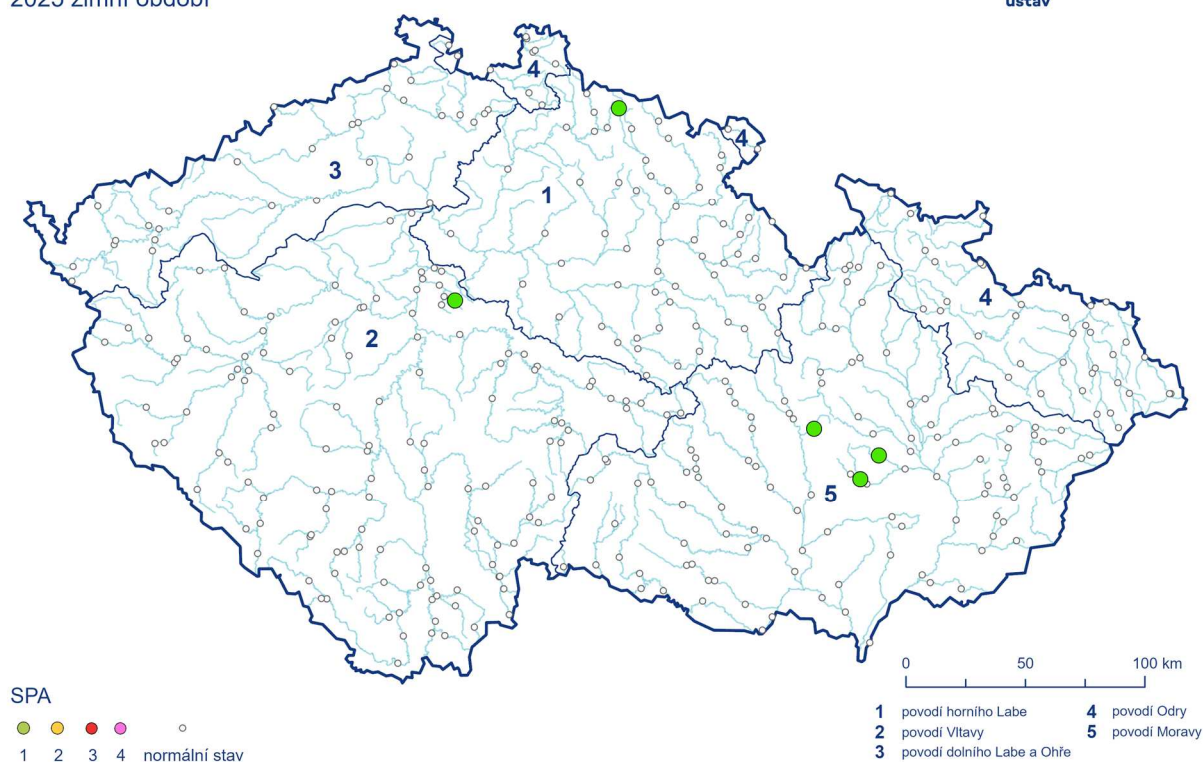
Zimní období

V zimním období (leden–duben a listopad–prosinec) roku 2025 docházelo k překročení SPA pouze na menších tocích, vesměs se jednalo o ovlivnění ledovými jevy a v případě Pitkovického potoka v Kuří o ovlivnění stavebními pracemi. Z hlediska povodní byl zajímavější pouze duben, kdy byl překročen 1. SPA na několika menších tocích, Obr. 5.3.1.

Dosažené stupně povodňové aktivity

2025 zimní období

Český
hydrometeorologický
ústav



Obr. 5.3.1 Dosažené stupně povodňové aktivity v zimním období roku 2025

Duben

Duben byl v zimním období jediným měsícem, kdy došlo k překročení SPA na více tocích. Vzestupy byly způsobeny manipulacemi na vodních dílech, a to 2. 4. na Malé Hané v profilu Opatovice, 19. 4. na Labi v profilu Labská a 28. 4. na Bělé v Boskovicích pod přehradou (vše $Q_{<2}$), a nebo zvýšením hladiny v rekonstruovaném korytě na Pitkovickém potoce v Kuří. Nejvyšší srážky spadly 24. 4., kdy byly zejména na Moravě v intenzivních lokálních bouřkách četně zaznamenány úhrny přesahující 50 mm/24 hod. Dne 25. 4. byl dosažen 1. SPA na Brodečce v profilu Otaslavice ($Q_{<2}$) a na ovlivněném Pitkovickém potoce v profilu Kuří ($Q_{<2}$).

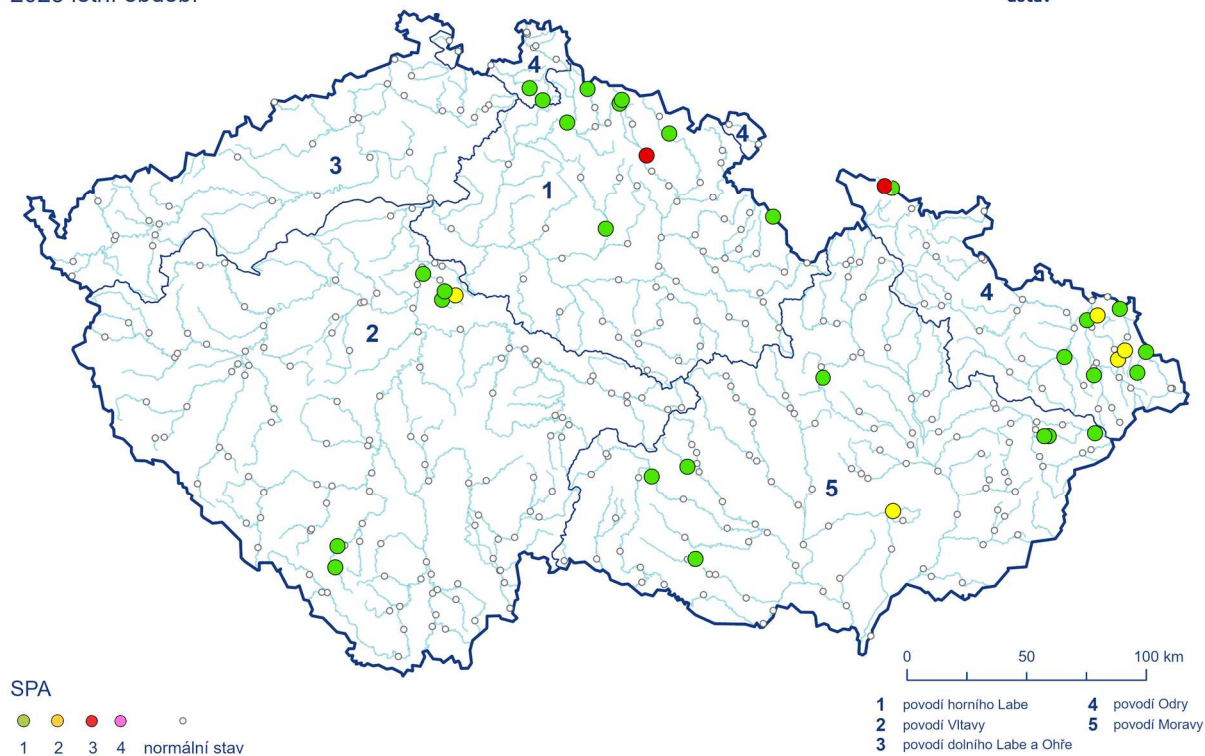
Letní období

Také letní období (květen až říjen) roku 2025 bylo z hydrologického hlediska převážně klidné. Povodňové situace se objevovaly jen výjimečně, výraznější epizoda nastala pouze ve druhé polovině července, Obr. 5.3.2.

Dosažené stupně povodňové aktivity

2025 letní období

Český
hydrometeorologický
ústav



Obr. 5.3.2 Dosažené stupně povodňové aktivity v letním období roku 2025

Květen

Po lokálních srážkách 22. 5. byl překročen 2. SPA na ovlivněném Pitkovickém potoce v profilu Kuří (Q_5). K dalšímu překročení SPA došlo na přelomu května a června, kdy byl po srážkách 31. 5. (ojediněle spadlo až 80 mm/12 hod) dosažen 1. SPA na Blanici v profilu Blanický Mlýn. Následně 1. 6. k této úrovni stoupla hladina Blanice v Podedvorech (vše $Q_{<2}$).

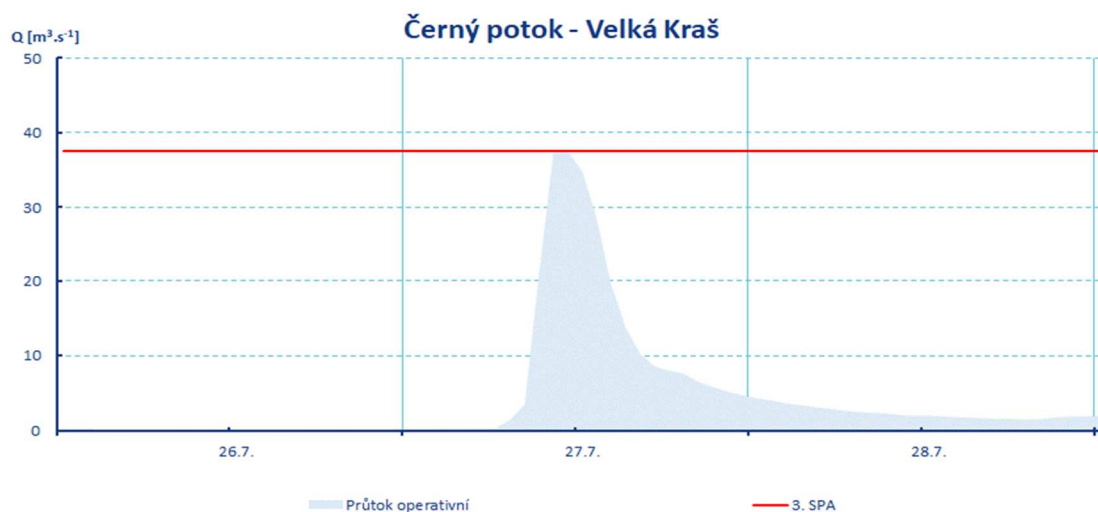
Červen

K prvnímu překročení 1. SPA došlo v již zmíněném případě 31. 5. až 1. 6. na Blanici. Během 1. 6. stoupla velmi krátce na úroveň 1. SPA také Lužická Nisa v Liberci ($Q_{<2}$). Výraznější vzestupy s dosažením 2. SPA byly zaznamenány 5. 6. na Litavě v Brankovicích ($Q_{<2}$), 1. SPA pak na Cidlině v Novém Bydžově ($Q_{<2}$) a Pitkovickém potoce v Kuří (Q_2). Během 23. 6. došlo k překročení 1. SPA na Lužické Nise v Proseči a v Liberci (oba $Q_{<2}$). Úhrny srážek ve všech případech dosahovaly 25 až 40 mm/24 hod.

Červenec

Vydatnější srážky ve dnech 21. až 22. 7., s úhrny až 50 mm/24 hod, způsobily výrazné vzestupy s dosažením 1. SPA na Lužické Nise v profilech Proseč nad Nisou a Liberec, Jihlavě v profilu Bransouze a na Balince v profilu Baliny (vše $Q_{<2}$). Další srážky vypadávaly v závěru měsíce ve dnech 27. až 28. 7. v oblasti Jeseníků a Beskyd a dosahovaly až 115 mm/24 hod. Na tyto výrazné srážky reagovaly toky vzestupy s dosažením SPA. Dne 27. 7. došlo k překročení 3. SPA na toku Černý potok v profilu Velká Kraš, 2. SPA byl krátkodobě dosažen 28. 7. na Lučině v Horních Domaslavicích (oba Q_3) a na Stonávce v Hradišti (Q_2). Na Vidnavě, Jevíčce, Bystřici, Olešné,

Rožnovské Bečvě, Lubině, Olši, Ostravici a Ropičance došlo v období od 27. do 28. 7. k překročení 1. SPA (vše $Q_{<2}$), Tab. 5.3.1., Obr. 5.3.2.



Obr. 5.3.3 Průběh povodňové vlny na Černém potoce v profilu Velká Kraš ve dnech 26. až 28. 7. 2025

Srpen

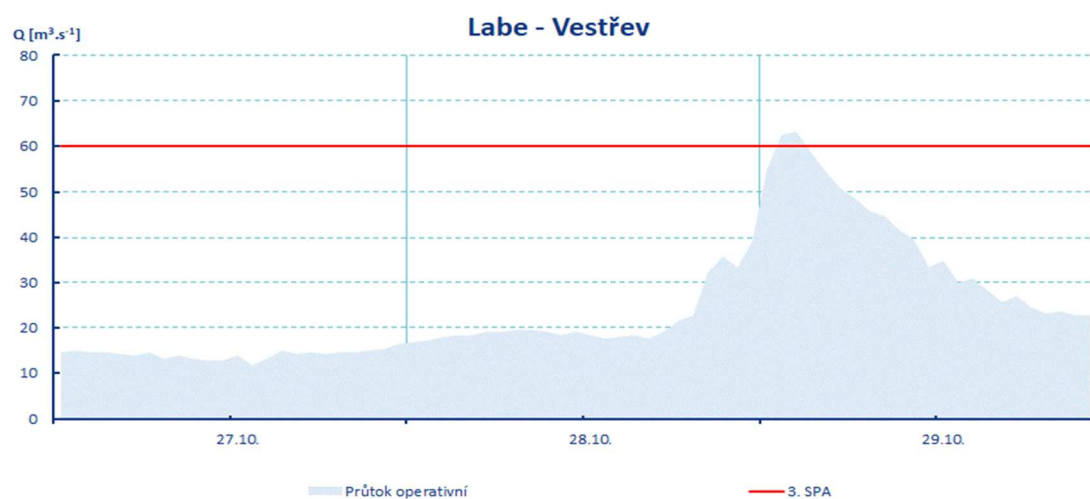
Během 5. 8. došlo po nepříliš vydatných srážkách (do 20 mm/24 hod) krátce k překročení 1. SPA na Lužické Nise v Liberci ($Q_{<2}$). K dalším překročením 1. SPA došlo až na konci srpna, kdy spadlo 30 až 60 mm/24 hod. Dne 29. 8. byl dosažen 1. SPA na Botiči ve stanici Jesenice-Kocanda a také na Lužické Nise v Proseči nad Nisou, 30. 8. pak na Botiči v Průhonicích (vše $Q_{<2}$), Tab. 5.3.1.

Září

K překročení 1. SPA došlo poprvé po srážkách 5. 9. na Botiči v Praze-Nuslích ($Q_{<2}$), kdy v okolí Prahy spadlo 20 až 50 mm/24 hod. Vydatné srážky na severu Čech, kdy 10. až 11. 9. spadlo 50 až 90 mm/48 hod, způsobily vzestupy na úroveň 1. SPA na Lužické Nise v Liberci, horním Labi ve Špindlerově Mlýně a Vestřevi a také na Úpě v Horním Starém Městě (vše $Q_{<2}$). Na východě ČR, kde spadlo 30 až 50 mm/48 hod, pak v tomto termínu vystoupala na 1. SPA Jihlava v Bransouzích ($Q_{<2}$). Během 14. 9. došlo při lokálních srážkách v povodí Odry (30 až 60 mm/24 hod, v maximum až 70 mm/24 hod) k překročení 2. SPA na Stružce v Rychvaldu (Q_2), Tab. 5.3.1., Obr. 5.3.1. a Obr. 5.3.2.

Říjen

Během 21. 10. krátce vystoupala na úroveň 1. SPA Jevišovka v profilu VD Jevišovice ($Q_{<2}$). V závěru října, 28. až 29. 10., byly hladiny rozkolísané v důsledku kombinace vydatných dešťových srážek (na horách na severu ČR spadlo 20 až 50 mm/48 hod) a tání sněhové pokrývky v horských oblastech. Na Labi ve Vestřevi byl 29. 10. krátce dosažen 3. SPA ($Q_{<2}$). Na Mumlavě, horním Labi, Lužické Nise, horní Úpě, Divoké Orlici a Jizeře došlo k překročení 1. SPA (vše $Q_{<2}$).



Obr. 5.3.4 Průběh povodňové vlny na horním toku Labe v profilu Vestřev ve dnech 27. až 29. 10. 2025

Tab. 5.3.1 Profily s dosaženým SPA v roce 2025

Měsíc	Tok	Stanice	Den	Čas kulminace	Stav [cm]	Průtok [m ³ .s ⁻¹]	Vodnost [N-letost]	SPA	Trvání 3. SPA [hod]	Kraj	ORP
Březen	Pitkovický potok*	Kuří	13	10:40	48	3,96	2	1		A	Hlavní město Praha
Duben	Malá Haná	VD Opatovice	2	10:20	101	1,6	<2	1		B	Vyškov
	Pitkovický potok*	Kuří	18	15:40	42	34	2	1		A	Hlavní město Praha
	Labe	Labská	19	09:30	70	22	<2	1		H	Vrchlabí
	Pitkovický potok*	Kuří	25	15:40	42	34	2	1		A	Hlavní město Praha
	Brodečka	Otaslavice	25	10:30	166	5,67	<2	1		M	Prostějov
	Bělá	Boskovice pod přehradou	28	11:40	55	3,38	<2	1		B	Boskovice
Květen	Pitkovický potok*	Kuří	22	17:10	78	6,83	5	2		A	Hlavní město Praha
	Blanice	Blanický mlýn	31	23:20	159	19,9	<2	1		C	Prachatice
Červen	Lužická Nisa	Liberec	1	20:00	88	10,5	<2	1		L	Liberec
	Blanice	Podedvory	1	01:20	117	15,7	<2	1		C	Prachatice
	Cidlina	Nový Bydžov	5	15:00	177	19,3	<2	1		H	Nový Bydžov
	Pitkovický potok*	Kuří	5	01:00	46	3,8	2	1		A	Hlavní město Praha
	Litava	Brankovice	5	23:00	162	5	<2	2		B	Bučovice
	Lužická Nisa	Proseč nad Nisou	23	17:50	93	13,5	<2	1		L	Jablonec nad Nisou
	Lužická Nisa	Liberec	23	19:20	95	12,9	<2	1		L	Liberec
Červenec	Lužická Nisa	Proseč nad Nisou	21	19:50	93	13,5	<2	1		L	Jablonec nad Nisou
	Lužická Nisa	Liberec	21	21:10	102	15,3	<2	1		L	Liberec
	Jihlava	Bransouze	21	21:50	142	24,1	–	1		J	Třebíč
	Balinka	Baliny	21	23:10	128	9,54	<2	1		J	Velké Meziříčí
	Černý potok	Velká Kraš	27	10:20	265	39,6	5	3	1	O	Jeseník
	Vidnavka	Vidnava	27	10:30	194	19	<2	1		O	Jeseník
	Jevíčka	Chornice	27	11:50	100	3,21	<2	1		E	Moravská Třebová
	Lučina	Horní Domaslavice	27	23:20	125	27,2	5	2		M	Frýdek-Místek

Měsíc	Tok	Stanice	Den	Čas kulminace	Stav [cm]	Průtok [m ³ .s ⁻¹]	Vodnost [N-letost]	SPA	Trvání 3. SPA [hod]	Kraj	ORP
	Bystřice	Bystřička nad nádrží	28	04:30	46	9,24	<2	1		Z	Vsetín
	Olešná	Palkovice	28	04:40	157	10,3	<2	1		M	Frýdek-Místek
	Bystřice	Bystřička pod nádrží	28	04:50	98	16,6	<2	1		Z	Vsetín
	Rožnovská Bečva	Horní Bečva	28	05:20	74	4,82	<2	1		Z	Rožnov pod Radhoštěm
	Stonávka	Hradiště	28	06:20	224	39	2	2		M	Havířov
	Lubina	Petřvald	28	07:10	103	37,7	<2	1		M	Kopřivnice
	Olše	Český Těšín	28	07:20	306	113	<2	1		M	Český Těšín
	Ostravice	Ostrava	28	08:00	302	196	<2	1		M	Ostrava
	Olše	Dětmarovice	28	09:20	191	170	<2	1		M	Karviná
	Ropičanka	Řeka	28	09:30	112	2,67	<2	1		M	Třinec
Srpen	Lužická Nisa	Liberec	5	18:10	86	9,78	<2	1		L	Liberec
	Botič	Jesenice-Kocanda	29	07:10	46	0,91	<2	1		S	Černošice
	Lužická Nisa	Proseč nad Nisou	29	10:10	88	12,2	<2	1		L	Jablonec nad Nisou
	Botič	Průhonice	30	04:30	40	1,22	<2	1		S	Černošice
Září	Botič	Praha-Nusle	5	21:50	144	16,5	<2	1		A	Hlavní město Praha
	Lužická Nisa	Liberec	10	22:50	96	13,2	<2	1		L	Liberec
	Labe	Vestřev	10	23:50	111	33,5	<2	1		H	Trutnov
	Úpa	Horní Staré Město	11	00:10	97	35,2	<2	1		H	Trutnov
	Labe	Špindlerův Mlýn	11	00:40	173	23,2	<2	1		H	Vrchlabí
	Jihlava	Bransouze	11	01:00	132	20,5	-	1		J	Třebíč
	Stružka	Rychvald	14	11:30	153	14,8	2	2		M	Bohumín
Říjen	Jevišovka	VD Jevišovice	21	08:30	55	3,37	<2	1		J	Znojmo
	Mumlava	Janov-Harrachov	28	22:10	161	20,8	<2	1		L	Tanvald
	Labe	Špindlerův Mlýn	28	22:20	182	28,1	<2	1		H	Vrchlabí
	Lužická Nisa	Liberec	28	23:10	96	13,2	<2	1		L	Liberec

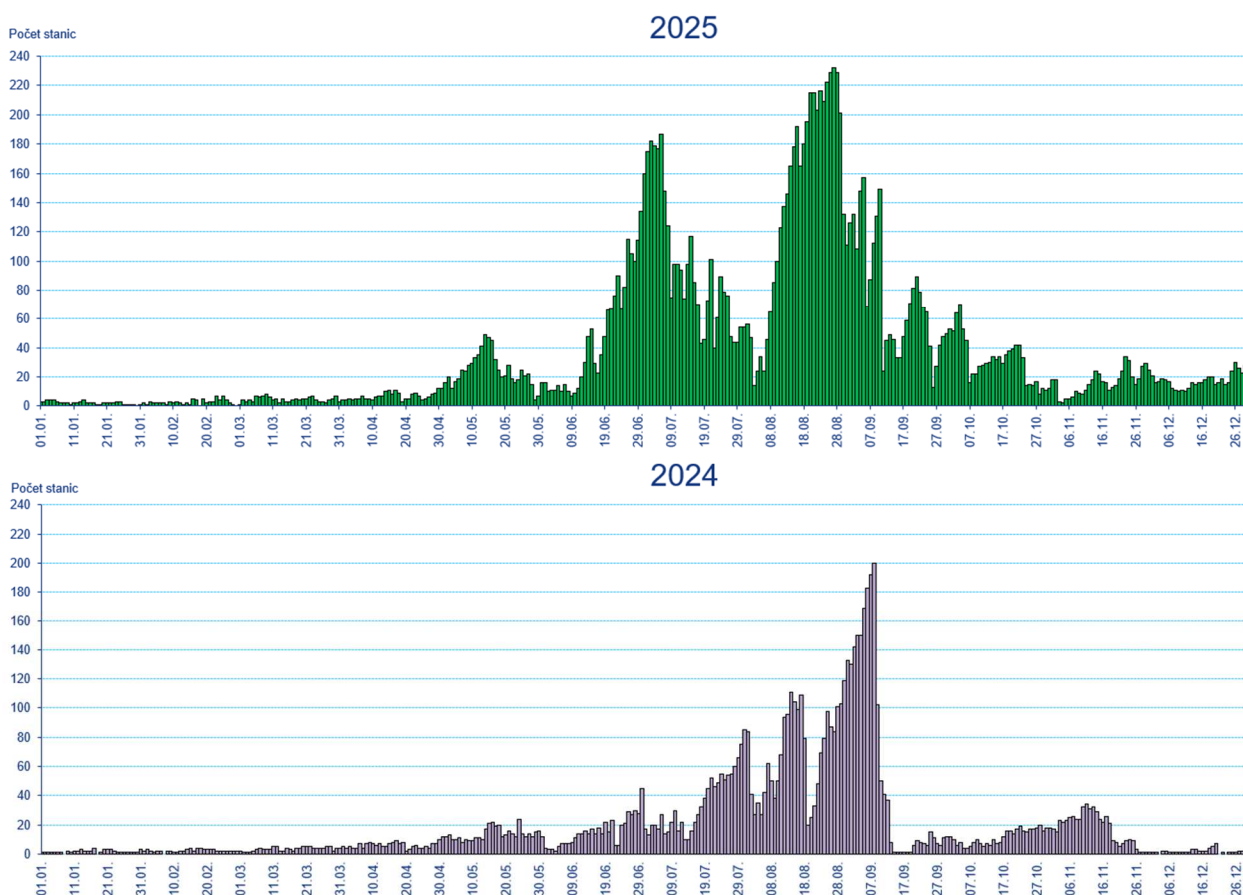
Měsíc	Tok	Stanice	Den	Čas kulminace	Stav [cm]	Průtok [m ³ .s ⁻¹]	Vodnost [N-letost]	SPA	Trvání 3. SPA [hod]	Kraj	ORP
	Úpa	Horní Staré Město	28	23:50	97	35,2	<2	1		H	Trutnov
	Divoká Orlice	Orlické Záhoří	29	01:00	95	14,2	<2	1		H	Rychnov nad Kněžnou
	Labe	Labská	29	01:20	72	23,4	<2	1		H	Vrchlabí
	Labe	Vestřev	29	01:50	165	63,2	<2	3	2,3	H	Trutnov
	Jizera	Železný Brod	29	02:20	252	107	<2	1		L	Železný Brod

* ovlivněno stavebními pracemi

5.4 Sucho

Hydrologické sucho se definuje jako nedostatek zdrojů povrchových a podzemních vod. Tato kapitola je věnována suchu týkajícímu se povrchových vod, které je hodnoceno dle následujících charakteristik: počtu hlásných profilů kategorie A+B s průměrnými týdenními hodnotami průtoků menšími než 25 % měsíčního průměru a počtu hlásných profilů kategorie A+B s průměrnými týdenními hodnotami průtoků menšími než Q_{355d} (tj. průtok, který byl v daném profilu dosažen nebo překročen průměrně 355 dní v roce a jehož podkročení je indikací hydrologického sucha), případně Q_{364d} (průtok, který byl v daném profilu dosažen nebo překročen po celý rok).

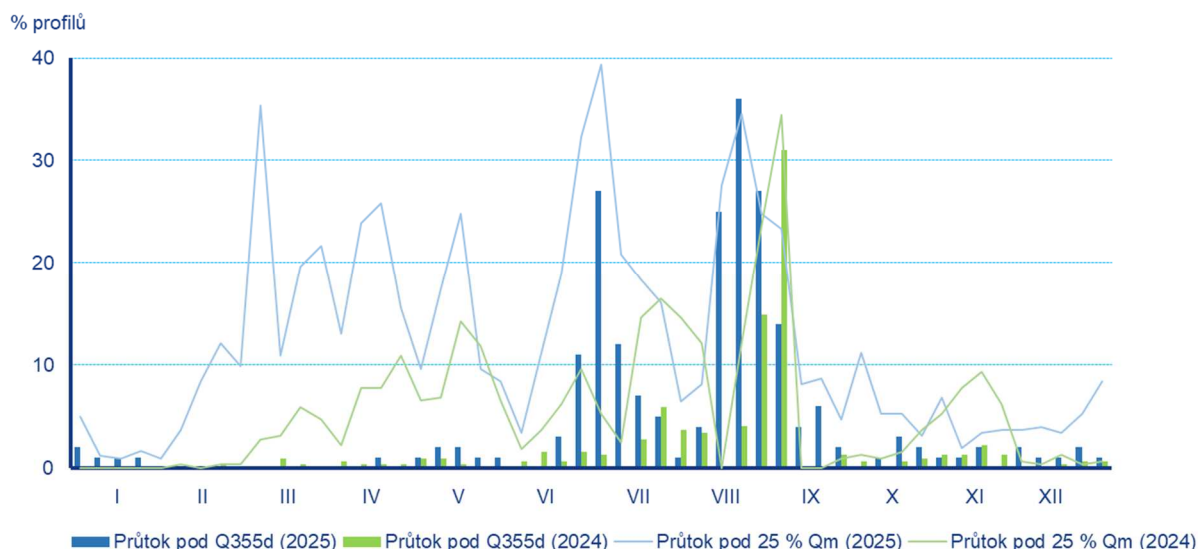
Rok 2025 byl v porovnání s předchozím rokem 2024 z pohledu hydrologického sucha výrazně sušší. Nejvýraznější rozdíl z hlediska počtu profilů s indikací hydrologického sucha je patrný v letních měsících, což je nejlépe viditelné u porovnání všech operativních profilů v denním kroku v letošním a loňském roce, Obr. 5.4.1.



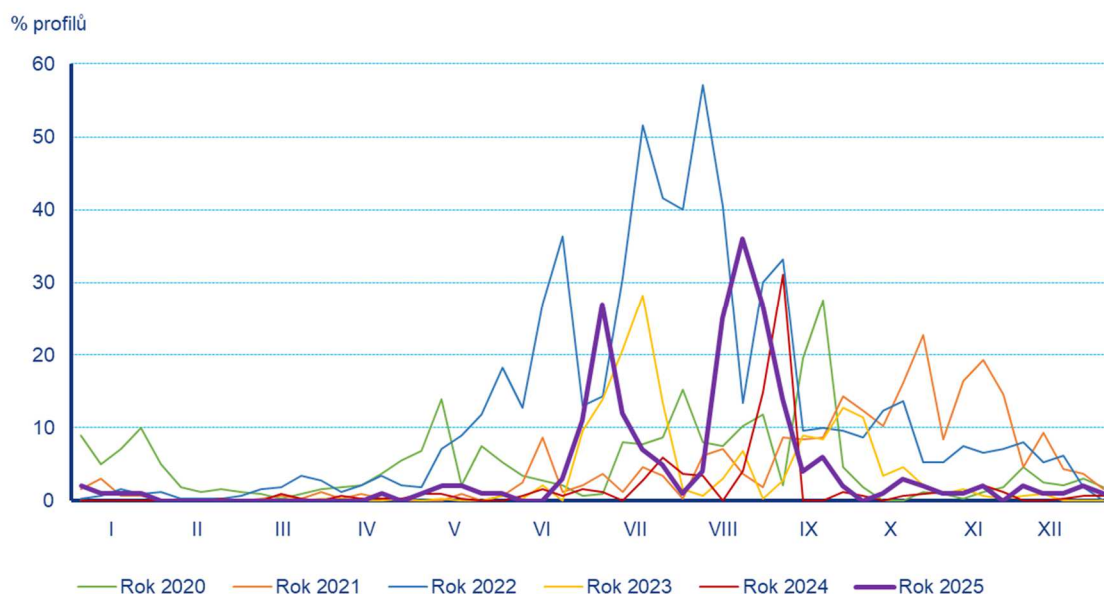
Obr. 5.4.1 Vývoj sucha v letech 2024 a 2025 na území ČR ve všech operativních profilech v denním kroku

Podle výskytu počtu profilů kategorie A+B s průměrnou týdenní vodností na úrovni Q_{355d} nebo nižší lze uplynulý rok rozdělit na tři období, Obr. 5.4.2. V prvním období, od začátku ledna do poloviny června, se sucho na území Česka téměř nevyskytovalo, resp. se vyskytovalo na necelém 1 % profilů. Od poloviny června se začal postupně zvyšovat počet tzv. „suchých“ profilů. Počet profilů s indikací hydrologického sucha postupně narůstal a udržel se až do poloviny září, kdy se jejich výskyt výrazně snížil. Poté následovalo období až do konce roku, kdy se sucho vyskytovalo u zhruba 4 % profilů. V porovnání s předchozími lety se rok 2025 celkově řadí spíše k méně suchým rokům od roku 2020, Obr. 5.4.3.

U profilů, které měly hodnoty průměrných týdenních průtoků menší než 25 % Q_m byla situace v porovnání s předchozím rokem také výrazně jiná, Obr. 5.4.2. Počet těchto profilů byl vyšší a trend sucha byl více rozkolísaný.



Obr. 5.4.2 Vývoj sucha v letech 2024 a 2025 na území ČR



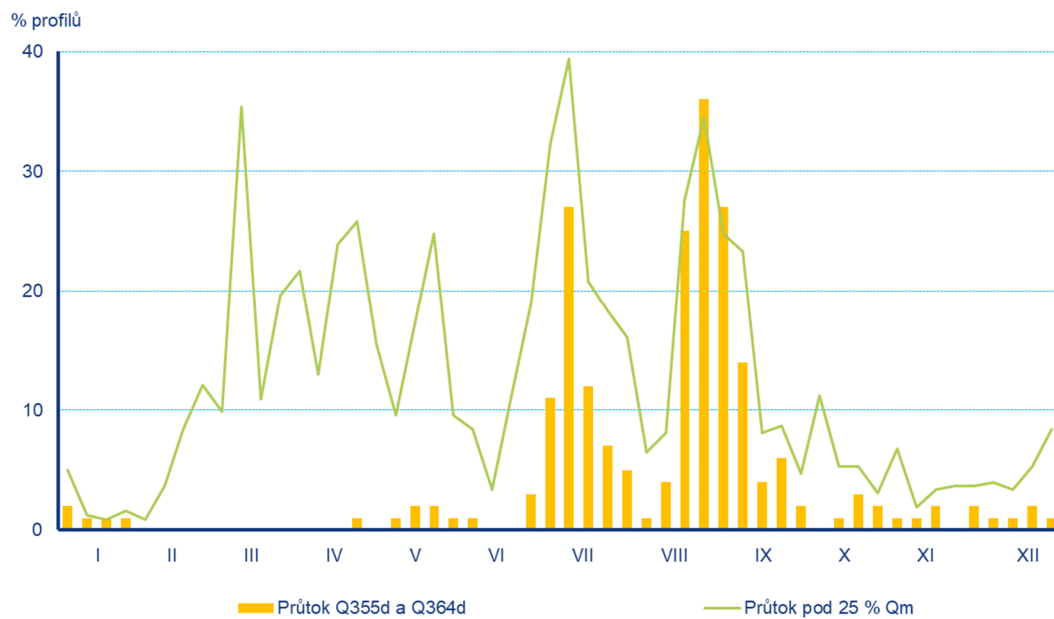
Obr. 5.4.3 Vývoj sucha v letech 2020 až 2025 na území ČR

První období bylo od začátku ledna do poloviny června a navázalo na výskyt profilů z konce předchozího roku 2024, kdy se profily kategorie A+B s průměrnou týdenní vodností pod Q_{355d} téměř nevyskytovaly. Velmi mírný nárůst byl patrný v polovině května, kdy suchých profilů mírně přibývalo. Na začátku roku byly ve všech povodích průtoky průměrné až nadprůměrné v porovnání s dlouhodobými měsíčními hodnotami. Od března do poloviny června se průtoky začaly postupně snižovat, avšak nedosahovaly hodnot indikujících stav sucha (pod Q_{355d}). Podíl profilů s průměrnými týdenními průtoky menšími než 25 % Q_m se na začátku tohoto období (leden–únor) pohyboval do 10 % profilů. Poté se podíl navýšil a kolísal mezi 10 a 35 % v závislosti na výskytu významnějších srážek. V porovnání s předchozím rokem je však podíl profilů s průměrnými týdenními průtoky menšími než 25 % Q_m výrazně vyšší.

Od poloviny června se začal výskyt profilů s průměrnými týdenními vodnostmi pod Q_{355d} výrazně navyšovat a stav sucha se vyskytoval u téměř 30 % profilů kategorie A+B. Toto období vysokého počtu suchých profilů narušila významná srážková epizoda na konci července. Po odeznění krátkého vodnějšího období došlo opět k rychlému nárůstu suchých profilů a v polovině srpna se jejich počet pohyboval na úrovni kolem 35 %, což bylo úplné maximum z hlediska sucha v tomto roce. Na konci srpna se opět vyskytla významnější srážková činnost, která vyvolala odtokovou odezvu s dosažením stupňů povodňové aktivity, vodnosti na tocích se zvýšily a počet profilů s vodnostmi pod Q_{355d} se začal

postupně snižovat. Téměř identický trend je patrný u profilů s hodnotami průměrných týdenních průtoků menšími než 25 % Q_m . V období od poloviny června do poloviny září se počet těchto profilů zvýšil na 40 %, poté se na konci července snížil na 5–10 %, a v průběhu srpna opět vzrostl na téměř 40 %. V porovnání s předchozím rokem je viditelný výraznější nárůst profilů s hodnotami průměrných týdenních průtoků menšími než 25 % Q_m během června a shodný nárůst těchto profilů i během srpna.

Třetí období lze vymezit od poloviny září až do konce roku, kdy se výskyt profilů s indikací sucha pohyboval většinou do necelých 2 % hlásných profilů ve všech povodích. Obdobně je tomu i u profilů s průměrnými týdenními průtoky menšími než 25 % Q_m , kde došlo k výraznému poklesu na začátku tohoto období a do konce roku se hodnoty pohybovaly do 10 % profilů, Obr 5.4.4.



Obr. 5.4.4 Týdenní vývoj profilů indikujících sucha v ČR v roce 2025

6 Režim podzemních vod

Hladina v mělkém oběhu podzemních vod byla v roce 2025 celkově mírně podnormální (83 % KP, Tab. 6.1.1). Stav se však regionálně lišil, zatímco na Moravě byla hladina normální, v povodí Horního a středního Labe byla hladina silně podnormální (86 % KP) a v povodí Ohře a Dolního Labe dokonce mimořádně podnormální (97 % KP, Obr. 6.1.1). Vydátost pramenů byla celkově mimořádně podnormální (96 % KP, Tab. 6.2.1). Silně až mimořádně podnormální stav převládal na většině území s výjimkou povodí Dolní Vltavy, kde byla vydátost normální (73 % KP) a povodí Horní Odry, kde byla vydátost mírně podnormální (84 % KP, Obr. 6.2.1). Podíl mělkých vrtů a pramenů s normálním stavem dosáhl 44 %, resp. 29 %. Silně nebo mimořádně podnormálních bylo 31 % mělkých vrtů a 51 % pramenů. Naopak silně nebo mimořádně nadnormálních bylo shodně 4 % mělkých vrtů i pramenů.

V lednu nastalo normální roční maximum hladiny (26 % KP, Obr. 6.1.2) i vydátosti (43 % KP, Obr. 6.2.2). Poté hladina klesala a vydátost se zmenšovala. Zatímco v únoru byla vydátost i hladina ještě normální, v březnu se stav zhoršil na silně podnormální (89–95 % KP, Tab. 6.1.1). Hladina pozvolna klesala až na roční mírně podnormální minimum, které nastalo v srpnu (81 % KP, Obr. 6.1.2). Vydátost byla silně až mimořádně podnormální od dubna až do ročního silně podnormálního minima v září (92 % KP, Obr. 6.2.2). Od září hladina stoupala do konce roku převážně v mezích normálu, zatímco zvětšování vydátosti bylo pouze pozvolné a celkově byla vydátost mírně až silně podnormální. Regionálně se však stav lišil, v povodí Horní Odry se vydátost v listopadu a prosinci zvětšila až na mírně nadnormální (19–23 % KP, Tab. 6.2.1), zatímco v povodí Ohře a Dolního Labe a Lužické Nisy byla vydátost od září do konce roku mimořádně podnormální (98–100 % KP, Tab. 6.2.1).

Hladina hlubokých zvodní v ČR byla v roce 2025 celkově silně podnormální (87 % KP, Tab. 6.3.1). Regionálně však byl stav rozdílný. Mimořádně podnormální byla hladina v severočeské křídě a v permokarbonu středních a západních Čech, silně podnormální hladina byla v podkrušnohorských a jihočeských pánvích a v permokarbonu východních Čech. Naopak v moravském terciéru jako celku byla hladina mírně nadnormální (Tab. 6.3.1, Obr. 6.3.1). Celkově bylo 34 % vrtů silně nebo mimořádně podnormálních, 33 % bylo normálních a 12 % vrtů bylo silně nebo mimořádně nadnormálních.

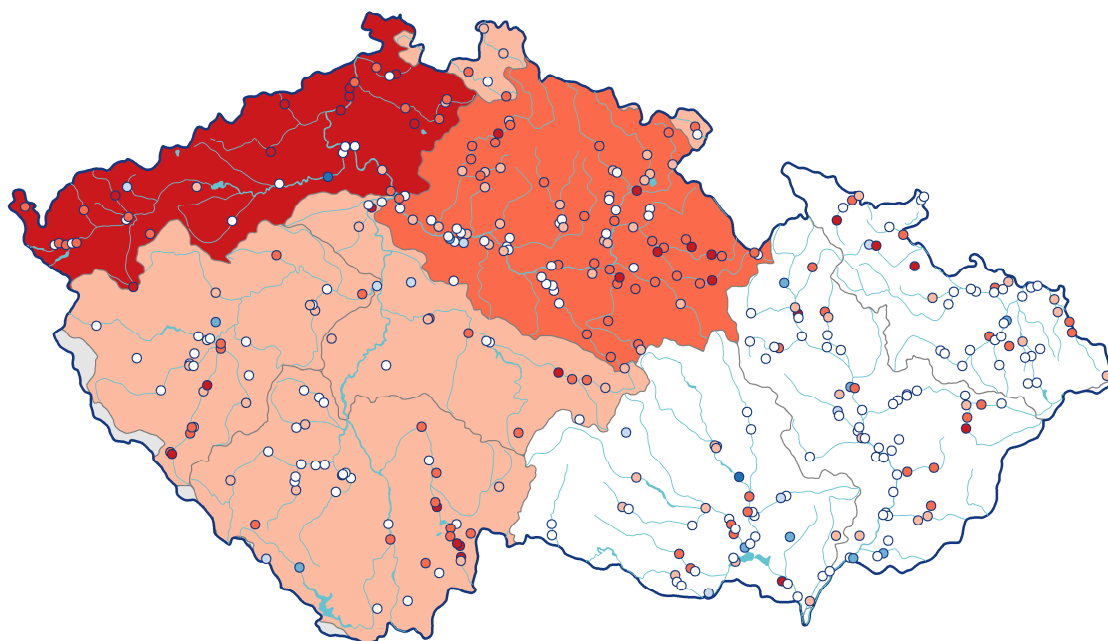
Z hlediska celé ČR byla hladina hlubokých zvodní od ledna do února normální, v březnu mírně podnormální, poté od dubna do října byla silně podnormální, v listopadu a prosinci se stav hladiny zlepšil na mírně podnormální (Obr. 6.3.2, Tab. 6.3.1). Z normálního ročního maxima v lednu (41 % KP) hladina stále zvolna klesala až na silně podnormální roční minimum v září (91 % KP), poté mírně stoupala až do prosince na mírně podnormální stav (85 % KP). V severočeské křídě byla hladina mimořádně podnormální po celý rok (dokonce mimo rozsah minim za referenční období 1991–2020). Podobně v permokarbonu středních a západních Čech byla hladina celoročně mimořádně, příp. silně podnormální (Tab. 6.3.1, Obr. 6.3.3). V permokarbonu východních Čech trval silně nebo mimořádně podnormální stav hladiny od dubna do října. Naopak nejvyšší hladina byla v moravském terciéru, kde od ledna do března trval silně nadnormální stav z konce předcházejícího roku, a poté až do konce roku byla hladina normální.

6.1 Mělké vrtvy

Začátek roku byl v mělkém oběhu podzemních vod celkově normální a v lednu nastalo roční maximum hladiny (26 % KP, Obr. 6.1.2, Tab. 6.1.1), které bylo v povodí Moravy a Dyje dokonce mírně nadnormální (18–19 % KP). Převážně normální stav hladiny pokračoval i v únoru. V březnu hladina poklesla na celkově silně podnormální (89 % KP), normální stav přetrvával pouze v povodí Dyje (65 % KP). V dubnu a květnu hladina na většině území dále klesala a byla celkově silně podnormální, nejhorší – mimořádně podnormální stav byl zaznamenán v povodí Ohře a Dolního Labe a Lužické Nisy (96–97 % KP). Naopak v povodí Dyje byla hladina normální až do června. V červnu se stav hladiny na většině území zlepšil na celkově mírně podnormální (76 % KP) a v povodí Lužické Nisy a Horní Odry došlo k vzestupu hladiny z mimořádně, resp. silně podnormální až na normální. V červenci a srpnu hladina v mělkém oběhu postupně klesala, až dosáhla v srpnu mírně podnormálního ročního minima (81 % KP); na Moravě převážně v mezích normálu, zatímco v Čechách převažoval mírně až silně podnormální stav. V září došlo k mírnému vzestupu hladiny, což se projevilo zlepšením stavu v povodí Horního a středního Labe a Berounky ze silně podnormálního na mírně podnormální. V říjnu a listopadu hladina dále stoupala převážně v mezích normálu, v povodí Horní Odry se stav v listopadu zlepšil až na mírně nadnormální (24 % KP). V prosinci v některých povodích hladina poklesla, zůstala však celkově normální (63 % KP); výrazněji se stav zhoršil pouze v povodí Ohře a Dolního Labe, kde byla hladina silně podnormální (91 % KP, Obr. 6.1.3, Tab. 6.1.1).

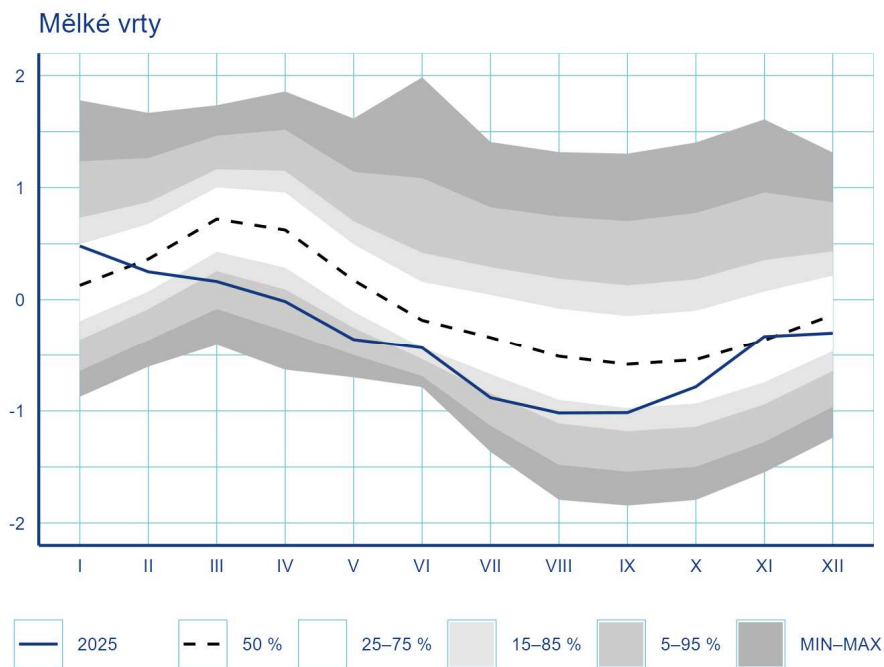
Stav hladiny podzemní vody v mělkých vrtech

2025



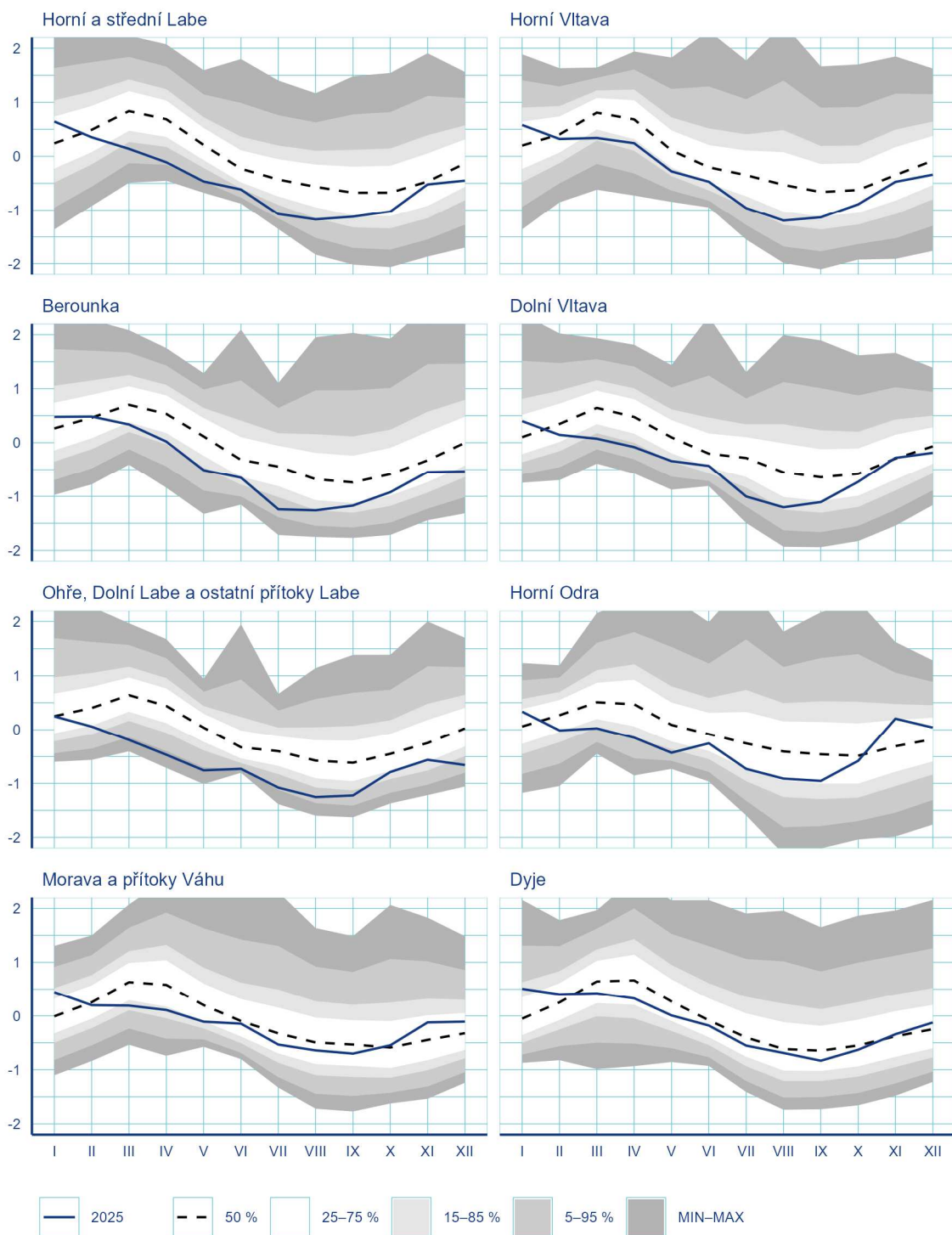
- mimořádně podnormální
- silně podnormální
- mírně podnormální
- normální
- mírně nadnormální
- silně nadnormální
- mimořádně nadnormální

Obr. 6.1.1 Stav hladiny podzemní vody v mělkých vrtech v roce 2025 v dílčích povodích, vztaženo k referenčnímu období 1991–2020



Obr. 6.1.2 Průměrná standardizovaná úroveň hladiny mělkých vrtů hlásné sítě pro celou ČR v roce 2025 (modře) ve srovnání s kvantily křivek překročení (KP), minimy a maximy za referenční období 1991–2020

Mělké vrty



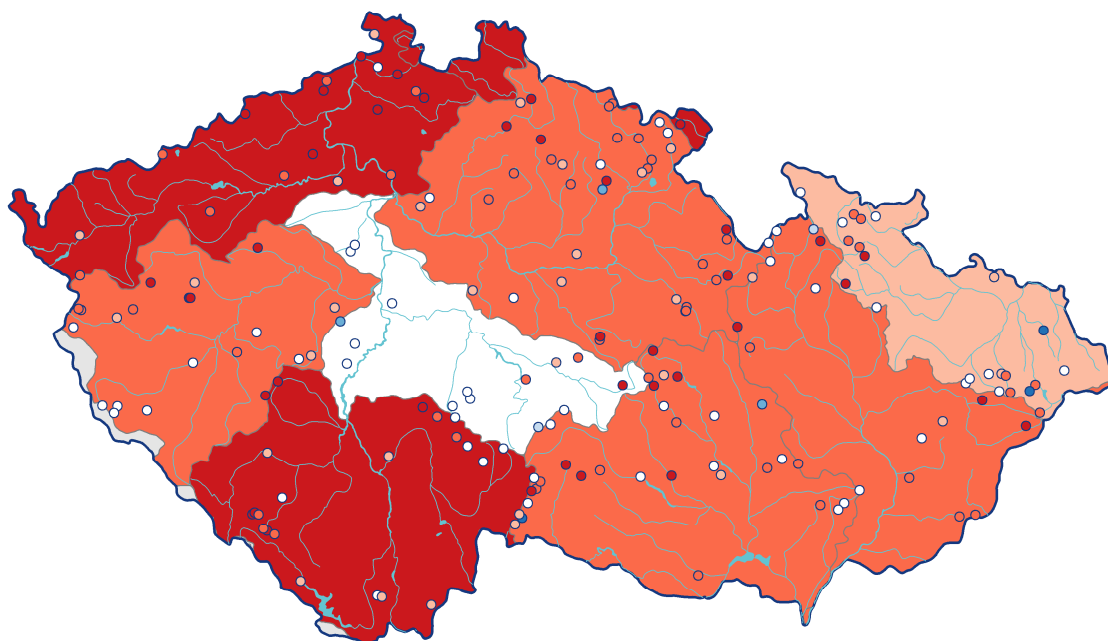
Obr. 6.1.3 Průměrná standardizovaná úroveň hladiny mělkých vrtů hlásné sítě v dílčích povodích v roce 2025 (modře) ve srovnání s kvantily křivek překročení (KP), minimy a maximy za referenční období 1991–2020

Tab. 6.1.1 Pravděpodobnost překročení průměrného stavu hladiny v roce 2025 v dílčích povodích v % KP (křivka překročení za referenční období 1991–2020). Červená barevná škála odpovídá zařídění do kategorií mírně (75–85 %), silně (85–95 %) a mimořádně (95–100 %) podnormální stav hladiny. Modře je vyznačena hladina mírně (15–25 %), silně (5–15 %) a mimořádně (0–5 %) nadnormální.

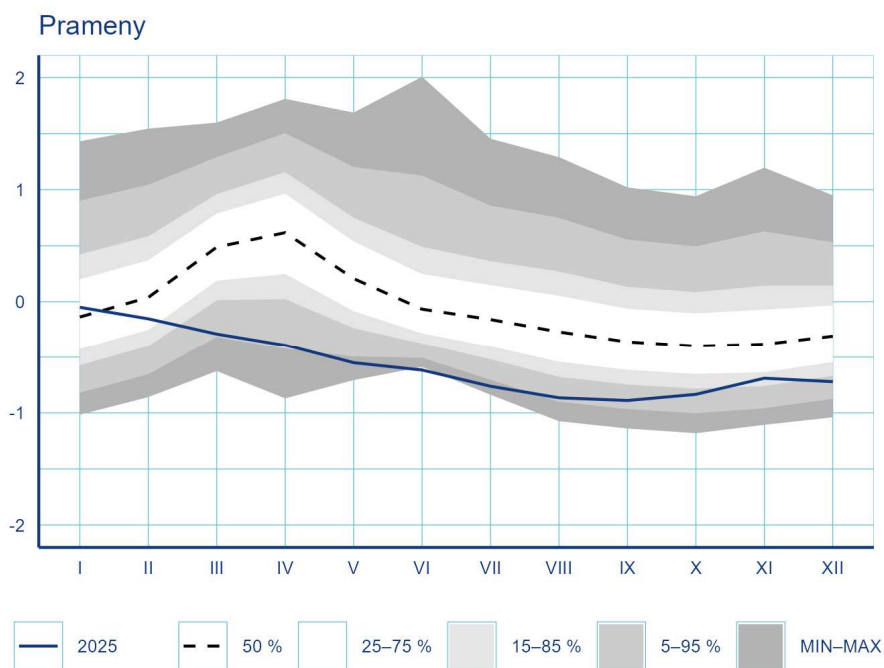
Povodí	Zařazení úrovně hladiny na KP v %												2025
	I	II	III	IV	V	VI	VII	VIII	IX	X	XI	XII	
Horní a střední Labe	29	59	89	94	95	86	93	86	76	71	53	69	86
Horní Vltava	28	57	83	79	80	73	86	82	76	66	57	65	77
Berounka	37	49	78	83	87	76	92	85	78	71	64	80	81
Dolní Vltava	31	66	90	89	84	72	91	84	76	60	49	60	85
Ohře a Dolní Labe	50	76	96	96	96	95	94	92	89	77	73	91	97
Horní Odry	28	73	86	85	89	64	75	74	73	55	24	36	75
Lužická Nisa	52	77	95	96	97	69	92	78	70	58	30	69	85
Morava	18	55	81	78	76	54	64	60	61	48	31	34	65
Dyje	19	38	65	69	68	58	61	55	63	55	48	42	61
ČR	26	60	89	89	90	76	87	81	77	66	48	63	83

6.2 Prameny

V lednu nastalo normální roční maximum vydatnosti (43 % KP, Tab. 6.2.1, Obr. 6.2.2). Regionálně se stav lišil: zatímco v povodí Horní Odry (11 % KP) byla vydatnost silně nadnormální a v povodí Horní Vltavy a Dolní Vltavy mírně nadnormální (18–23 % KP), v povodí Ohře a Dolního Labe byl stav již v lednu mimořádně podnormální (100 % KP, Tab. 6.2.1). V únoru se vydatnost celkově zmenšila, zůstala však převážně v mezích normálu, s výjimkou silně až mimořádně podnormální vydatnosti v povodí Lužické Nisy a Ohře a Dolního Labe (89–99 % KP, Obr. 6.2.3). Zmenšování vydatnosti pokračovalo i v březnu a celkový stav se zhoršil až na téměř mimořádně podnormální (95 % KP). Od dubna se vydatnost celkově dále zmenšovala až do září, kdy nastalo silně podnormální roční minimum (92 % KP, Obr. 6.2.2); na většině území převládal silně až mimořádně podnormální stav, s výjimkou normální vydatnosti v povodí Dolní Vltavy. Ke zlepšení stavu až na normální došlo v září v povodí Horní Odry (74 % KP). V říjnu a listopadu se vydatnost postupně zvětšovala, zatímco na části území přetrvával silně až mimořádně podnormální stav (Horní Vltava, Berounka, Ohře a Dolní Labe, Lužická Nisa), v povodí Dolní Vltavy a Moravy byl stav normální a v povodí Horní Odry se zlepšil v listopadu z normálního až na mírně nadnormální (19 % KP). V prosinci se vydatnost opět zmenšila a celkový stav se zhoršil na silně podnormální (88 % KP, Tab. 6.2.1), regionálně se však stav lišil, zatímco na Moravě a v povodí Dolní Vltavy byla vydatnost normální až mírně nadnormální (23 % KP, Horní Odry), v Čechách převládal silně až mimořádně podnormální stav (Obr. 6.2.3).

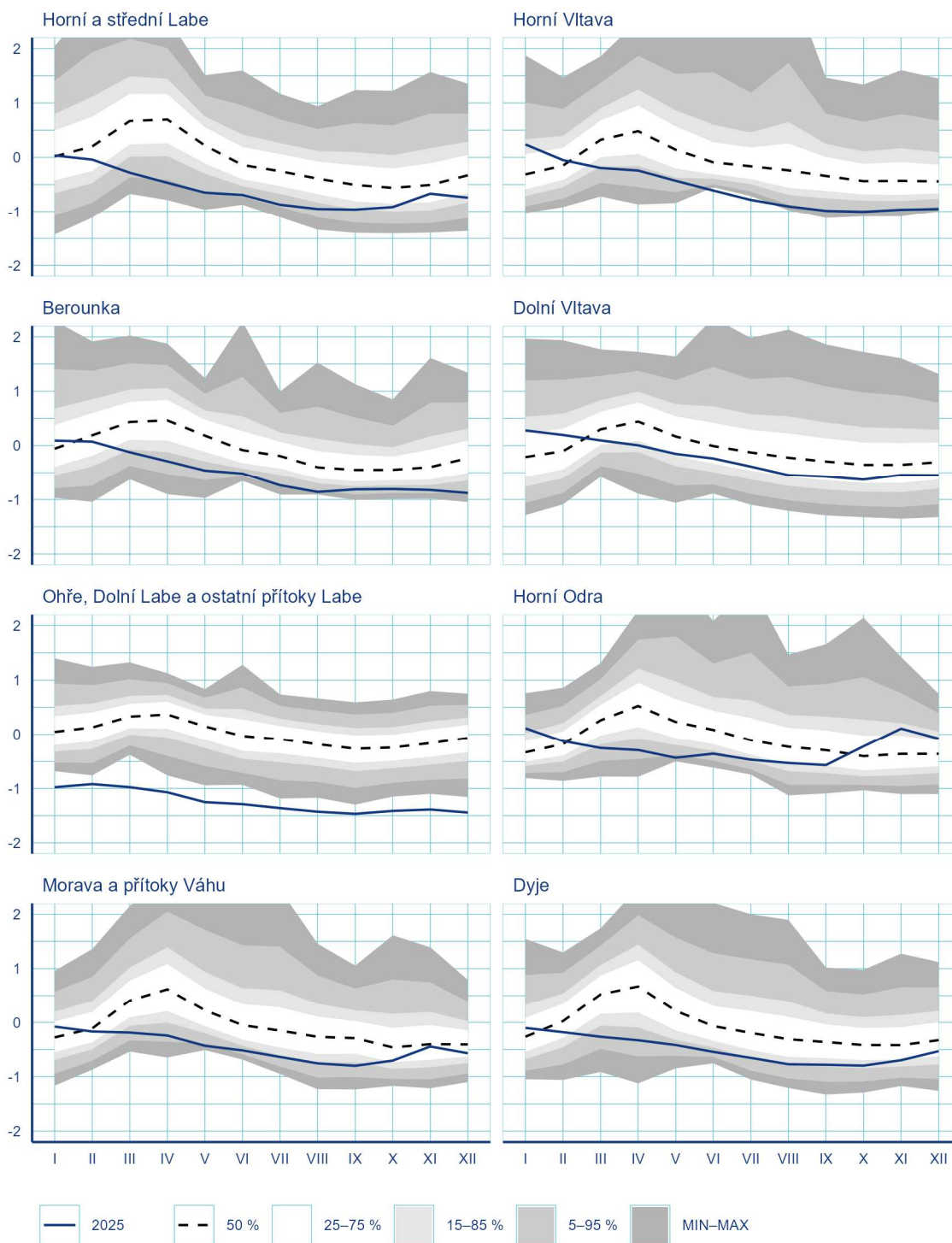


Obr. 6.2.1 Stav vydatnosti pramenů v roce 2025 v dílčích povodích, vztaheno k referenčnímu období 1991–2020



Obr. 6.2.2 Průměrná standardizovaná vydatnost pramenů hlásné sítě pro celou ČR v roce 2025 (modře) ve srovnání s kvantily křivek překročení (KP), minimy a maximy za referenční období 1991–2020

Prameny



Obr. 6.2.3 Průměrná standardizovaná vydatnost pramenů hlásné sítě v dílčích povodích v roce 2025 (modře) ve srovnání s kvantily křivek překročení (KP), minimy a maximy za referenční období 1991–2020

Tab.6.2.1 Pravděpodobnost překročení vydatnosti pramenů v roce 2025 v dílčích povodích v % KP (křivka překročení za referenční období 1991–2020). Červená barevná škála odpovídá zařazení do kategorií mírně (75–85 %), silně (85–95 %) a mimořádně (95–100 %) podnormální vydatnost. Modře je vyznačena vydatnost mírně (15–25 %), silně (5–15 %) a mimořádně (0–5 %) nadnormální.

Povodí	Zařazení hodnot vydatnosti na KP v %												2025
	I	II	III	IV	V	VI	VII	VIII	IX	X	XI	XII	
Horní a střední Labe	49	64	94	96	95	94	94	90	85	80	63	80	93
Horní Vltava	18	41	86	88	88	100	100	96	96	96	95	97	99
Berounka	40	58	87	90	91	92	95	97	90	91	92	95	95
Dolní Vltava	23	31	68	79	73	68	70	73	71	71	64	69	73
Ohře a Dolní Labe	100	99	100	99	99	100	99	99	99	100	100	99	99
Horní Odra	11	43	88	92	97	89	83	75	74	36	19	23	84
Lužická Nisa	67	89	98	98	98	97	98	98	98	99	99	98	98
Morava	32	56	91	93	97	91	87	86	88	73	54	68	91
Dyje	37	67	91	91	89	91	85	84	83	82	76	68	90
ČR	43	67	95	95	96	99	97	94	92	88	80	88	96

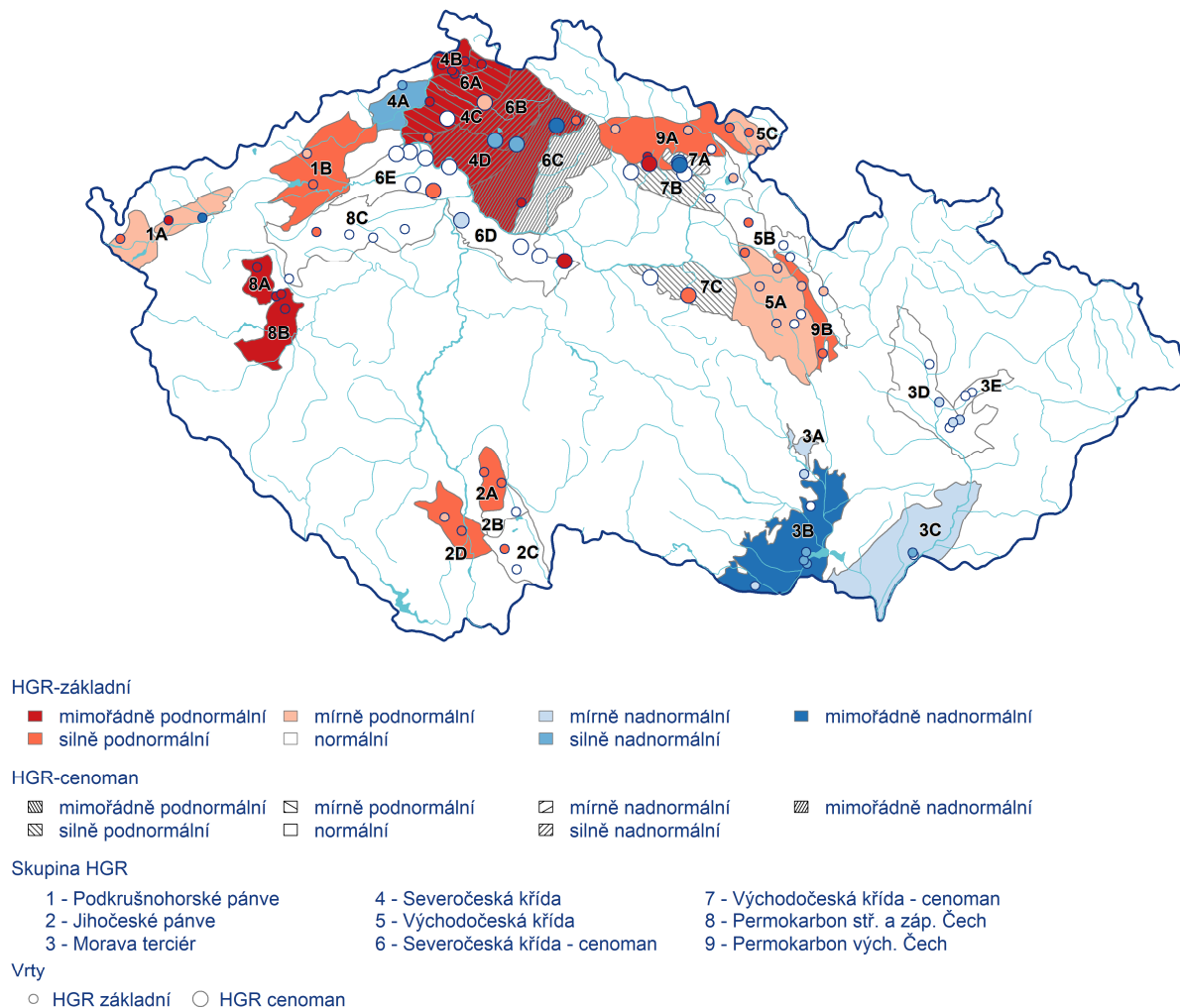
6.3 Hluboké vrty

Stav hladiny hlubokých zvodní se celkově zhoršil. Mimořádně podnormální hladina byla během celého roku v části severočeské křídly (skupina hydrogeologických rajonů 4B, 4C), také v části 4D trval po celý rok pouze silně nebo mimořádně podnormální stav (Obr. 6.3.1, Obr. 6.3.4). Naproti tomu hladina v části severočeské křídly 4A byla od ledna do srpna silně, příp. mimořádně nadnormální, a i na konci roku zůstala normální. V části permokarbonu středních a západních Čech (8A, 8B) trval po celý rok pouze mimořádně podnormální stav hladiny. Ve zbývajících částech permokarbonu středních a západních Čech (8C) byla hladina celoročně normální nebo mírně podnormální. V části permokarbonu východních Čech 9A byl na začátku roku stav normální, ale již v březnu se zhoršil na silně podnormální a od dubna do července trval mimořádně podnormální stav. Poté se stav zvolna zlepšoval až na normální v listopadu a prosinci. V části permokarbonu východních Čech 9B byl na začátku roku stav převážně normální, ale od dubna až do konce roku byl většinou mírně nebo silně podnormální. V jihočeských pánvích byla na začátku roku hladina normální, poté se její stav zhoršoval, takže v části 2A a 2D trval silně podnormální stav od června do prosince. V části jihočeských pánví 2C byl stav převážně normální, příp. mírně podnormální, v části 2B byl převážně normální. V části podkrušnohorských pánví 1A byl stav hladiny celoročně převážně normální, pouze od února do května byl mírně nebo silně podnormální. Naopak v části 1B byl stav normální pouze v lednu a do konce roku převládal silně, příp. silně podnormální stav. Ve východočeské křídle byla hladina v lednu převážně mírně nadnormální, ale poté rychle poklesla, takže od dubna do července byla většinou silně podnormální. Do konce roku se stav zlepšil na normální, pouze v části 5A zůstal mírně podnormální. V části cenomanu východočeské křídly (7B, 7C) trval do února převážně normální stav, pak došlo k poklesu hladiny a silně podnormální stav převládal až do konce roku. Naopak v části 7A byla hladina až do dubna silně nadnormální, od července až do konce roku byla normální. V cenomanu severočeské křídly v části 6A byla hladina celoročně převážně normální, příp. mírně podnormální, jen v listopadu a prosinci byla silně podnormální. V části 6D a 6E byl stav téměř výhradně normální. Silně a mimořádně nadnormální byla po celý rok hladina v částech 6B a 6C, které mají výrazně víceletý režim.

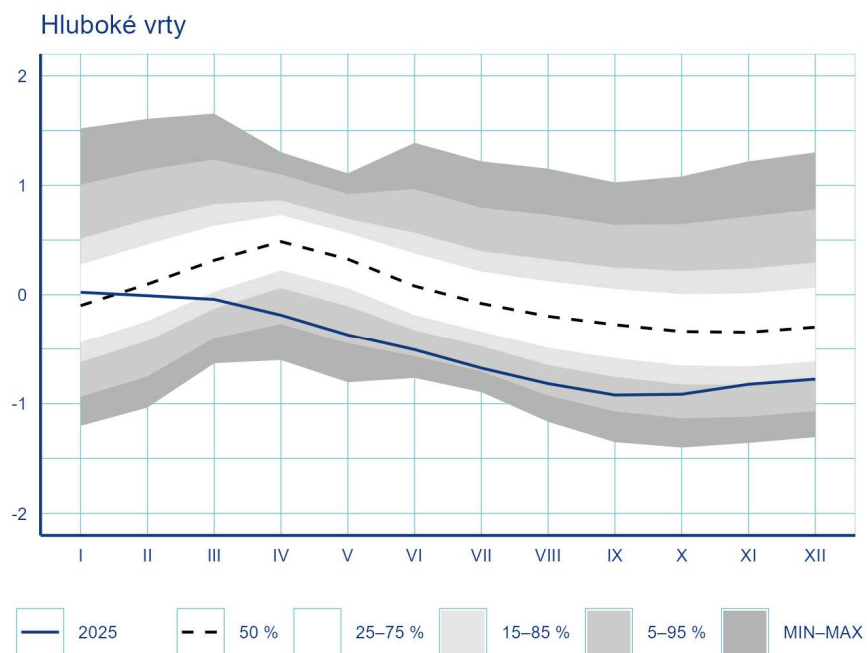
Vzhledem k obvyklému ročnímu režimu hladin byl stav hlubokých zvodní nejhůřší v květnu a červenci, kdy hladina 45 %, resp. 40 % vrtů byla silně nebo mimořádně podnormální, a vrtů se silně nebo mimořádně nadnormální hladinou bylo 9 %, resp. 8 % (Obr. 6.3.2). Naproti tomu nejlepší stav byl zaznamenán v lednu, kdy podíl vrtů se silně nebo mimořádně podnormální hladinou představoval 18 % a vrtů se silně nebo mimořádně nadnormální hladinou bylo 29 %. Ve srovnání s předcházejícím rokem došlo u 32 % vrtů k velkému poklesu a u 29 % k poklesu hladiny. Naopak u žádného vrtu nebyl zaznamenán vzestup nebo velký vzestup hladiny.

Stav hladiny podzemní vody v hlubokých vrtech

2025



Obr. 6.3.1 Stav hladiny podzemní vody v hlubokých vrtech v roce 2025

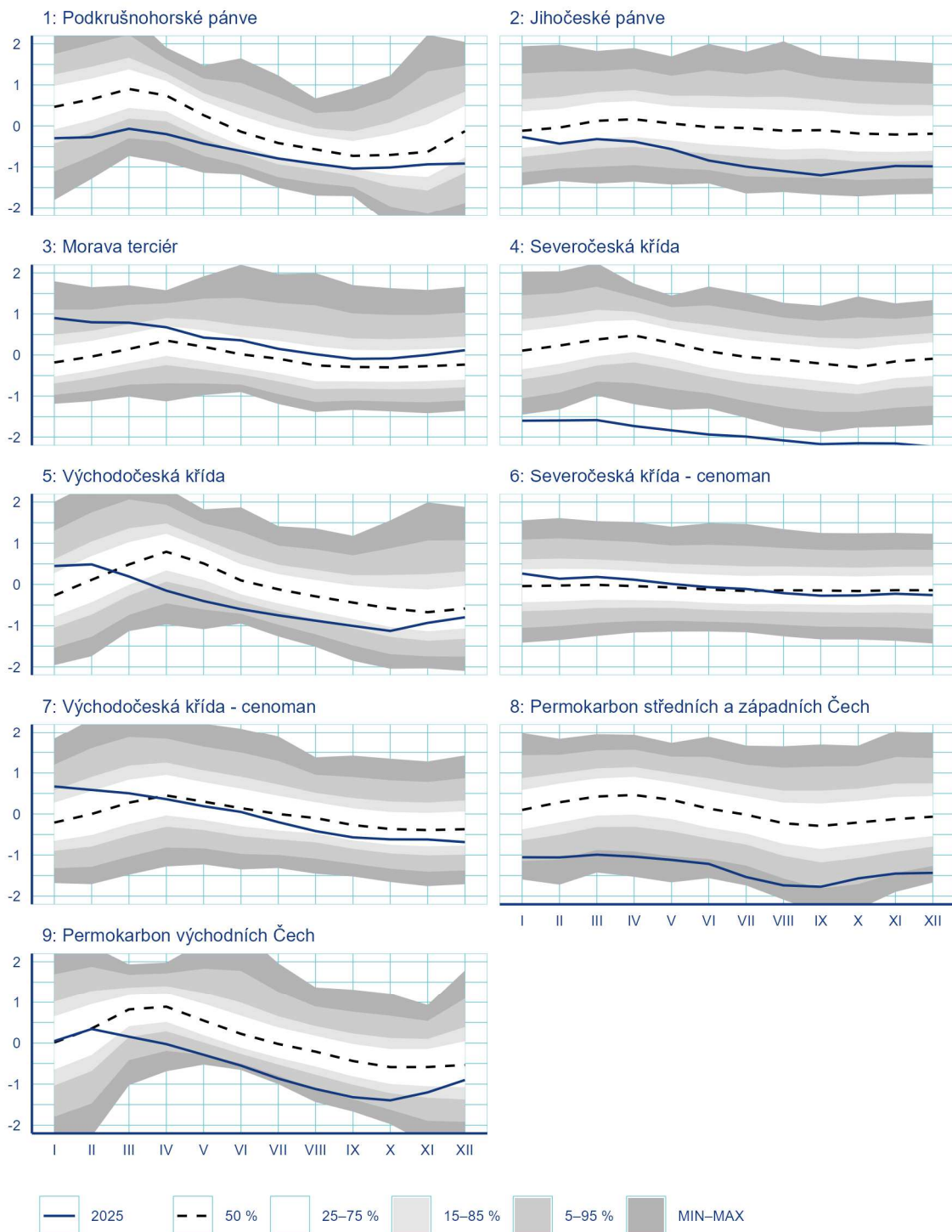


Obr. 6.3.2 Průměrná standardizovaná úroveň hladiny hlubokých vrtů hlásné sítě pro celou ČR v roce 2025 (modře) ve srovnání s kvantily křivky překročení (KP), minimy a maximy za referenční období 1991–2020

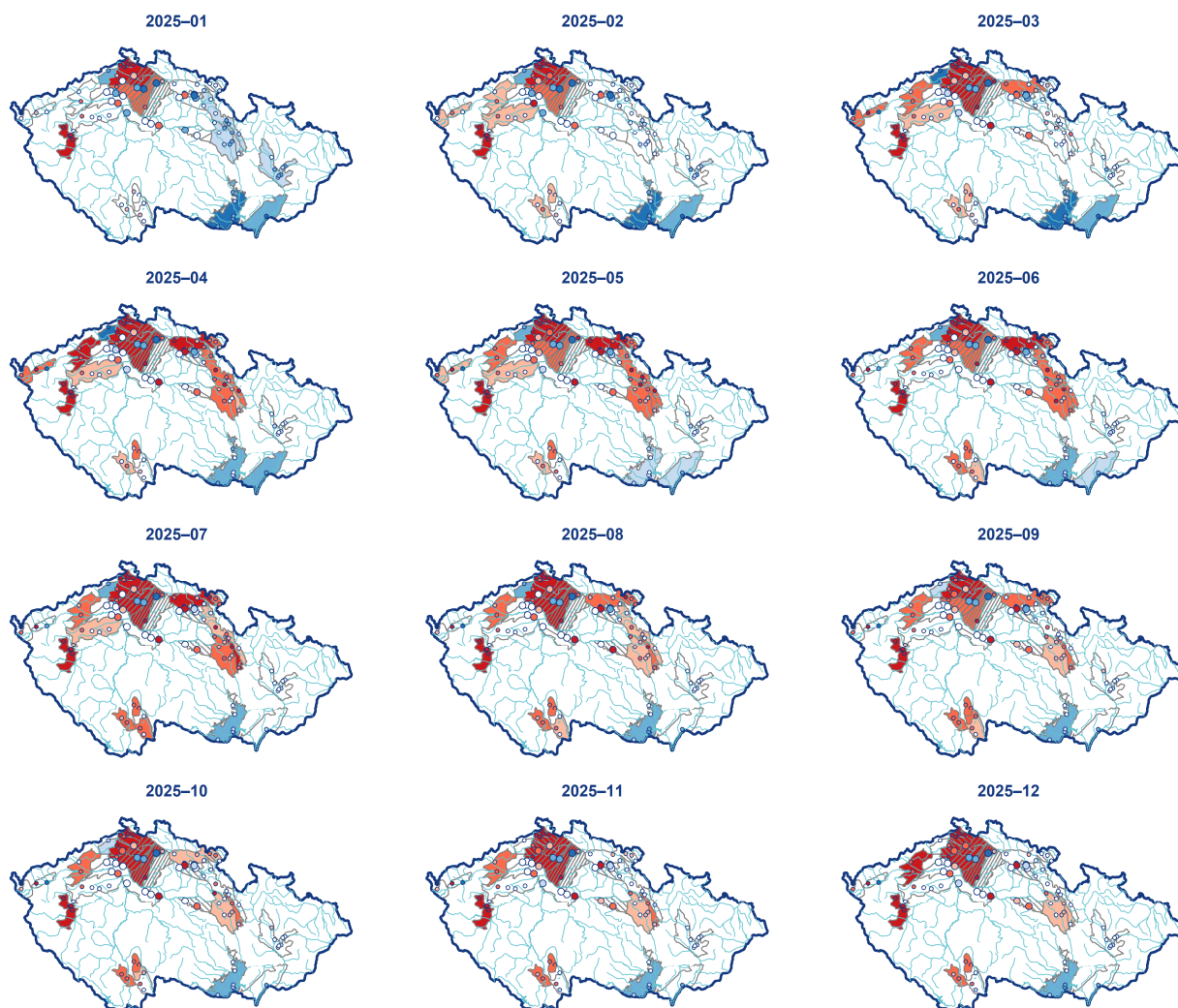
Tab. 6.3.1 Pravděpodobnost překročení úrovně hladiny v hlubokých vrtech ve skupinách hydrogeologických (hg) rajonů v roce 2025 v % KP (křivka překročení za referenční období 1991–2020). Červená barevná škála odpovídá zařídění do kategorií mírně (75–85 %), silně (85–95 %) a mimořádně (95–100 %) podnormální vydatnost. Modře je vyznačena vydatnost mírně (15–25 %), silně (5–15 %) a mimořádně (0–5 %) nadnormální.

Skupina hg rajonů	Zařazení úrovně hladiny na KP v %												2025
	I	II	III	IV	V	VI	VII	VIII	IX	X	XI	XII	
Podkrušnohorské pánve	82	88	91	93	89	83	77	77	75	67	63	80	85
Jihočeské pánve	60	74	76	80	84	90	91	92	94	91	88	89	88
Morava terciér	7	10	14	27	35	29	35	34	37	36	32	28	24
Severočeská křída	99	99	100	99	99	100	100	99	99	100	99	100	99
Východočeská křída	20	33	65	90	92	92	89	86	83	79	64	61	79
Severočeská křída - cenoman	31	39	36	39	43	46	46	56	60	58	57	59	48
Východočeská křída - cenoman	13	24	39	55	57	56	63	72	71	67	65	70	52
Permokarbon středních a západních Čech	94	95	96	96	96	96	97	97	95	94	95	97	96
Permokarbon východních Čech	49	51	85	93	95	96	97	95	94	90	81	68	90
ČR	41	58	80	93	94	93	94	92	91	89	85	85	87

Hluboké vrtý



Obr. 6.3.3 Průměrná standardizovaná úroveň hladiny hlubokých vrtů hlásné sítě ve skupinách hydrogeologických rajonů v roce 2025 (modře) ve srovnání s kvantily křivky překročení (KP), minimy a maximy za referenční období 1991–2020



Obr. 6.3.4 Stav hladiny podzemní vody v hlubokých vrtech během roku 2025

Pozn.: Při interpretaci výsledků je třeba brát v úvahu, že hodnocení hlubokých zvodní je prováděno na menším počtu objektů a často na kratších pozorovaných řadách, než vyhodnocování mělkých vrtů a pramenů. Většina hlubokých vrtů má sice pozorování od roku 1991, část z nich však jen od roku 2008.

Český hydrometeorologický ústav

Na Šabatce 2050/17, 143 06 Praha 4

Ředitel ústavu: Mgr. Mark Rieder

Ředitel předpovědní služby: Mgr. Radek Tomšů